Revista Ibérica de Aracnología, nº **42** (30/06/2023): 167–188.
Grupo Ibérico de Aracnología (S.E.A.). ISSN: 1576 - 9518.

ARAÑAS (ARACHNIDA: ARANEAE) DEL PARQUE NATURAL DEL CARRASCAL DE LA FONT ROJA (ALICANTE, ESPAÑA)

José A. Barrientos[1], Jesús Hernández-Corral[2] & Juan P. García-Teba[2]

[1] C/ Balmes, 181. 08006 Barcelona (España). joseantonio.barrientos@uab.es
[2] Instituto de Investigación CIBIO. Universidad de Alicante, 03690 San Vicente del Raspeig, (Alicante, España). jesus.hdez3@gmail.com; jpabloteba@gmail.com

Resumen: Una serie de muestreos realizados en el Parc Natural de la Font Roja (Alcoi, Alicante, España) han aportado 80 especies, 73 géneros y 27 familias de arañas. Se describe una especie nueva: *Liocranoeca alcoiana* Barrientos & Hernández-Corral sp. nov. *Alopecosa aculeata* (Clerck, 1757) se cita por primera vez para la fauna ibero-balear; además son primera cita para la Comunidad Valenciana la familia Corinnidae, 9 géneros y 19 especies. Otras dos especies son primera cita para la provincia de Alicante. El 21,25 % de las especies encontradas son endemismos ibero-baleáricos.
Palabras clave: Araneae, Faunística, Taxonomía, nueva especie, primeras citas, fenología, carrascal, Sistema Prebético, Comunidad Valenciana, Península Ibérica.

Spiders (Arachnida: Araneae) from the Carrascal de la Font Roja Natural Park (Alicante, Spain)
Abstract: A series of samplings carried out in the Font Roja Natural Park (Alcoi, Alicante, Spain) have provided 80 species, 73 genera and 27 families of spiders. A new species is described: *Liocranoeca alcoiana* Barrientos & Hernández-Corral sp. nov. *Alopecosa aculeata* (Clerck, 1757) is cited for the first time for the Ibero-Balearic fauna; In addition, the Corinnidae family, 9 genera and 19 species, are the first appointment for the Valencian Community. Two other species are first appointment for the province of Alicante. 21.25 % of the species found are Ibero-Balearic endemics.
Key words: Araneae, Faunistics, Taxonomy, New specie, First records, Phenology, holm oak forest, Prebetic System, Valencian Community, Iberian Peninsula.

Taxonomía / Taxonomy: *Liocranoeca alcoiana* Barrientos & Hernández-Corral sp. nov.

Introducción

En la provincia de Alicante podemos encontrar grandes diferencias entre las zonas costeras, con importante fragmentación del hábitat y gran presión urbanística, y las zonas montañosas interiores mejor conservadas dónde todavía es posible encontrar espacios con alto valor ecológico. La sierra de Aitana, la sierra de Mariola, el Carrascal de la Font Roja y la Carrasqueta son un buen ejemplo de ello.

El Carrascal de la Font Roja se encuentra situado en las zonas externas de las Cordilleras Béticas al noroeste de la provincia de Alicante, en la comarca de l'Alcoià, entre los términos municipales de Alcoi e Ibi (38°38.51′N, 0°32.46′W), en la Comunidad Valenciana (España). Actualmente, consta de 2.298 ha protegidas, siendo la cumbre del Menejador la parte más elevada con sus 1.356 m s.n.m. Presenta un clima mediterráneo sub-húmedo, de carácter templado-frío. La temperatura media anual oscila entre los 11-12º C; la media anual para enero (el mes más frío) y agosto (el más caluroso), es de 4º C y 20-21º C respectivamente. Las precipitaciones anuales oscilan entre los 750-850 mm. Casi todos los años hay precipitaciones de nieve, debido a su altura, siendo frecuentes las heladas (Borreguero *et al*., 1984). Según Boronat *et al*., 1989 las precipitaciones son de 693 mm en la parte más elevada. Se pueden distinguir, en función de la temperatura y la pluviosidad, dos pisos bioclimáticos que corresponden al mesomediterráneo y supramediterráneo, con ombroclima seco (el primero) y seco y subhúmedo, el segundo (Rivas-Martínez, 1981). Debido a la orientación E-W de la sierra, se crea una clara diferencia entre la zona de solana, orientada al sur, y otra de umbría, con orientación norte (figs. 2A, 2B). Esto condiciona parámetros relacionados con la insolación, temperatura y evapotranspiración. Así, la parte orientada al sur se caracteriza por encontrarse a sotavento de los vientos húmedos del NE, lo que la convierte en una zona con clima seco y árido. En cambio, la zona norte pertenece a otra unidad climática más lluviosa y húmeda predominando un bosque frondoso dominado por la encina (*Quercus rotundifolia*) y el quejigo (*Quercurs faginea*); mientras que en su cara sur predomina el pino carrasco (*Pinus halepensis*) (Riba *et al*., 1980; Boronat *et al*., 1989). Entre los suelos predominan las calizas y las margas; así como las arcillas rojas y yesos del Keuper (Boronat *et al*., 1989).

El Carrascal de la Font Roja fue declarado Parque Natural en 1987 (Decreto 49/1987, de 13 de abril; Generalitat Valenciana, 1987), y en 2004 vió la luz el Plan de Ordenación de los Recursos Naturales (Decreto 121/2004, de 16 de julio; Generalitat Valenciana, 2004). Cuenta con la Estación Científica Font Roja Natura UA desde noviembre de 2004. Desde la entrada en vigor como Parque Natural, la cobertura vegetal ha experimentado un importante incremento a raiz de la disminución del pastoreo dentro del Parque, hecho que ha ido modificando el paisaje (Verdú *et al*., 2000).

Existe una gran variedad de estudios sobre la Font Roja relacionados con su flora (Serra & Soler, 2011; Laguna *et al*., 2022), con la fauna vertebrada (Gilabert *et al*., 2022a; Gilabert *et al*., 2022b; Rico-Guzman *et al*., 2012), con los coleópteros coprófagos (Verdú *et al*., 2000; Zamora *et al*., 2007), con los coleópteros cerambícidos (Peris-Felipo *et al*., 2011) o con los dípteros (Gil-Ortiz *et al*., 2010). Sorprendentemente no hay constancia de la existencia de trabajos relacionados con los arácnidos.

Revisando los datos existentes en la bibliografía, constatamos la escasa atención que a lo largo del tiempo han recibido estos importantes y ricos enclaves montañosos por parte de los aracnólogos. Solo muy recientemente se han citado 115

especies de arañas, además de la descripción de una nueva especie de disdérido *Dysdera ferrandezi* Barrientos & Hernández-Corral, 2022, en las sierras de Aitana y la Serrella (Barrientos & Hernández-Corral, 2022). Otro ejemplo reciente lo constituyen los arenales no costeros presentes en la provincia de Alicante (Hernández-Corral & Barrientos, 2022), donde se citan 49 especies con un 16,3% de endemismos ibero-baleáricos. Las arañas del Carrascal de la Font Roja también han permanecido en gran medida ocultas hasta nuestros días. Sólo se tiene constancia de tres especies pertenecientes a dos familias: *Nomisia perpusilla* Dalmas, 1921 (Gnaphosidae), *Zodarion costablancae* Bosmans, 1994 (Zodariidae) y *Amphiledorus balnearius* Jocqué & Bosmans, 2001 (Zodariidae). Las dos primeras aparecen como invertebrados de especial interés en el ámbito del Plan de Ordenación de los Recursos Naturales (PORN) del parque natural de la Font Roja (Decreto 121/2004; Generalitat Valenciana, 2004). Respecto a *N. perpusilla* indicar que la hembra fue capturada en Port Lligat en el municipio de Cadaqués (Gerona), no hay citas procedentes de la sierra de la Font Roja, se desconoce el macho y el propio autor indica que bien podría tratarse de *N. exornata* (Dalmas, 1921). *N. exornata* ha sido citada recientemente por nosotros tanto en Elche (Hernández-Corral & Barrientos, 2021) como en la sierra de Aitana (Barrientos & Hernández-Corral, 2022). En cuanto a *Z. costablancae*, fue citada por primera vez en Elche a partir de un holotipo macho (Bosmans, 1994). Con posterioridad también ha sido encontrada en la sierra de Aitana a partir de otro macho colectado por Magdalena Pérez, además de en las provincias de Valencia y Tarragona (Bosmans *et al*., 2019). No hay constancia de citas de esta especie en la sierra de la Font Roja. En relación con *A. balnearius*, su holotipo macho fue capturado en la Font Roja en 1993 y se encuentra publicado en Jocqué & Bosmans (2001) gracias a los trabajos de muestreo llevados a cabo, tanto en la Font Roja como en la sierra de Aitana, por Magdalena Pérez López de Sagredo. Lamentar que el resto del material colectado desafortunadamente no haya llegado a ver la luz.

Las muestras de arañas incluidas en este trabajo proceden de un proyecto llevado a cabo por el Instituto de Investigación CIBIO, Universidad de Alicante, dirigido por el Dr. José Ramón Verdú para la tesis doctoral de D. Juan Pablo García-Teba entre los años 2020 y 2021. Sus objetivos estaban relacionados con el estudio de los coleópteros coprófagos del Parque Natural.

Objetivos

A raiz de la casi ausencia total de datos sobre las especies de arañas presentes en el Carrascal de la Font Roja, se ve justificado acometer la determinación de las muestras obtenidas por el CIBIO, que aporte información sobre la riqueza de especies en este Parque Natural. Los objetivos de este estudio, por tanto, consisten en conocer la araneofauna en el Carrascal de la Font Roja a partir de las muestras obtenidas por el CIBIO y que este conocimiento permita a la dirección del Parque una mejor gestión de sus recursos naturales.

Metodología

Muestreo

El material de arañas estudiadas en este trabajo procede de trampas de caída (pitfall) distribuidas en cuatro zonas de muestreo. Las zonas 1 y 2 se ubican en la cara norte (umbría), la zona 3 se encuentra en la cumbre con orientación a solana y la zona 4 se ubica en la cara sur (solana) (figs. 1 y 2).

En cada una de las cuatro zonas se colocaron 2 trampas de 20 cm de diámetro separadas unos 20 m entre si. Se taparon con una malla de paso ancho cubierta con excrementos de vaca, como cebo, en su parte central y en su interior se añadió propilenglicol al 50% (modificado de Lobo *et al*., 1988) (fig. 3).

Los ejemplares fueron individualizados en viales y se fijaron en etanol al 70% junto con el etiquetado de su localización, altitud, fecha y legatario. Las muestras pertenecen a un periodo temporal de diez meses recogidas dos veces al mes siempre que ha sido posible (Tabla I).

Tabla I. Parque Natural del Carrascal de la Font Roja. Indicación de las fechas de recogida de las muestras entre 2020-2021. **Table I**. Natural Park of Carrascal de la Font Roja. Indication of sample collection dates between 2020-2021

Año	Mes	Recogida
2020	III	07
	VI	20
	VII	04 y 18
	VIII	01 y 23
	IX	05 y 19
	X	03 y 17
	XI	01 y 14
	XII	05 y 19
2021	I	04 y 23
	II	06 y 20

Para la georeferenciación de los lugares de muestreo se utilizó un GPS. Se ha empleado el formato geográfico MGRS (*datum* WGS84) con una precisión de 10 m. La altitud viene expresada en m s.n.m. (Tabla II)

Tabla II. Parque Natural del Carrascal de la Font Roja. Coordenadas de las zonas del muestreo en formato MGRS y altitud en m s.n.m. **Table II**. Natural Park of Carrascal de la Font Roja. Coordinates of the sampling areas in MGRS format and altitude in m a.s.l.

Zona	Paraje	Coordenadas	Altitud
1	Mas de Tetuan	30S YH 12158157	1.219
2	Cava de Coloma	30S YH 12888166	1.294
3	Menejador collado	30S YH 13748182	1.304
4	Solana	30S YH 13758154	1.223

Las muestras se encuentran en la colección del segundo autor (Col. J. Hernández-Corral) a excepción de unas pocas que se encuentran en la colección del primer autor (Col. J. A. Barrientos), señaladas así en el Anexo II, y las que constituyen el **material tipo** de *Liocranoeca alcoiana* sp. nov**.** (que se deposita en el MNCN, Madrid).

Vegetación presente en cada una de las zonas muestreadas

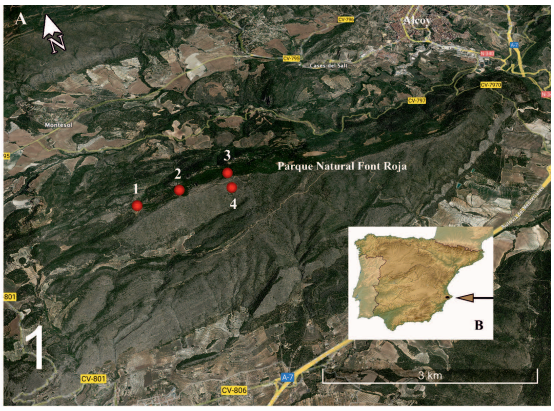
ZONA 1 (Mas de Tetuán): *Pinus halepensis, Quercus rotundifolia*, *Juniperus oxycedrus*, *Cistus albidus*, *Lavandula latifolia*, *Festuca valentina*, *Genista scorpius*, *Erinacea anthyllis*, *Teucrium homotrichum*, *Thymus vulgaris*, *Brachypodium retusum.*

ZONA 2 (Cava de Coloma): *Pinus halepensis*, *Quercus rotundifolia*, *Juniperus oxycedrus*, *Cistus albidus*, *Festuca valentina*, *Erinacea anthyllis*, *Teucrium homotrichum*, *Thymus vulgaris.*

ZONA 3 (Menejador collado): *Quercus rotundifolia*, *Juniperus oxycedrus*, *Cistus albidus*, *Festuca valentina*, *Erinacea anthyllis*, *Teucrium homotrichum*, *Helictotrichon filifolium*.

ZONA 4 (Solana): *Quercus rotundifolia*, *Ulex parviflorus*, *Juniperus oxycedrus*, *Cistus albidus*, *Festuca valentina*, *Teucrium homotrichum*.

Fig.a 1. A) Mapa del Parque Natural del Carrascal de la Font Roja, con indicación de los lugares del muestreo. B) Península Ibérica con indicación de la posición relativa del P. N. de la Font Roja, en el interior de la provincia de Alicante (España). **/ Fig, 1**. A) Map of the Carrascal of Font Roja Natural Park, indicating the sampling areas. B) Iberian Peninsula with the relative position of the Font Roja Natural Park, province of Alicante (Spain).



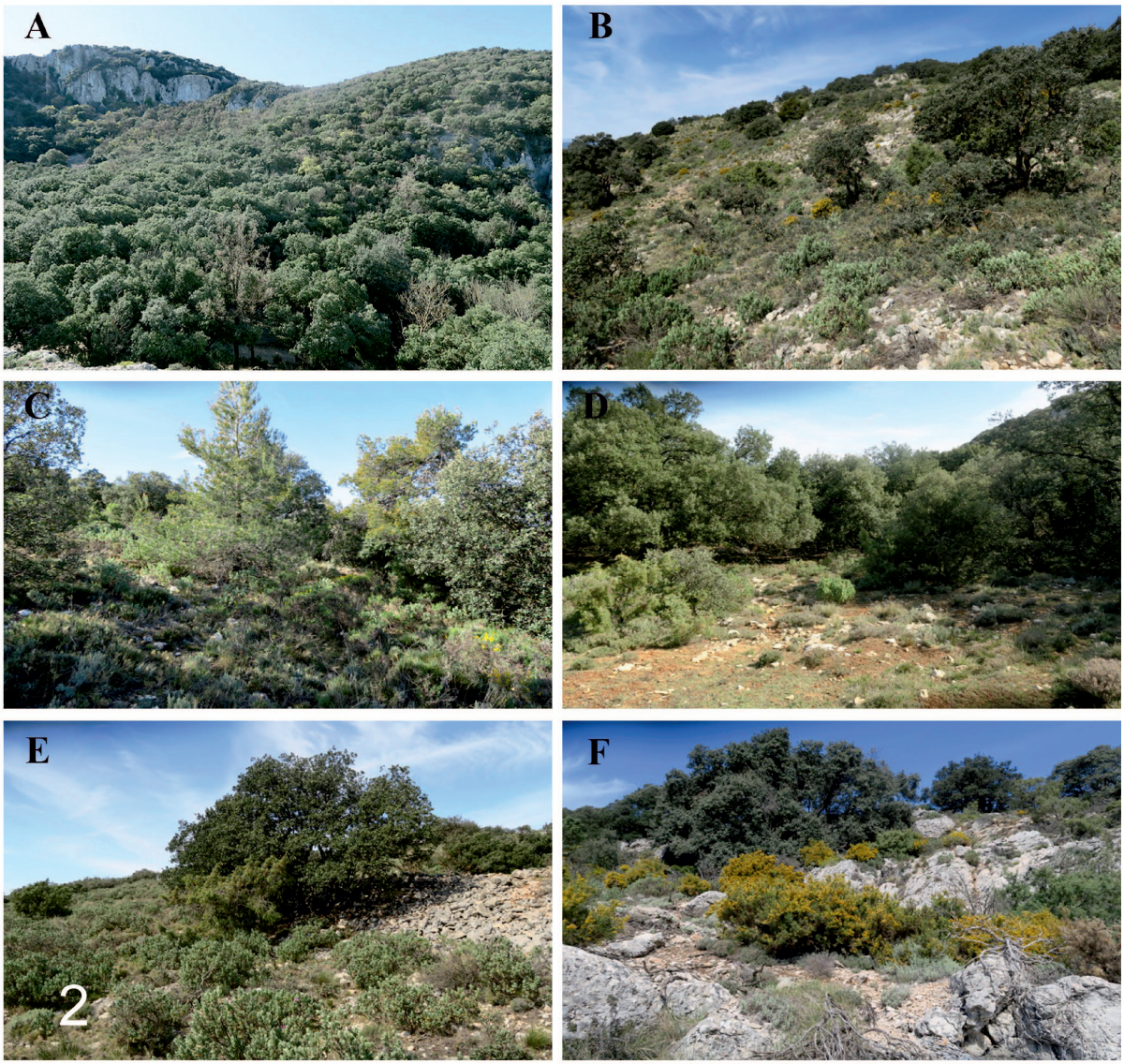


Fig. 2. Parque Natural del Carrascal de la Font Roja. **A**) Aspecto general de la cara de umbría. **B**) Aspecto general de la cara de solana. **C**) Zona 1 del muestreo. **D**) Zona 2 del muestreo. **E**) Zona 3 del muestreo. **F**) Zona 4 del muestreo. **Fig, 2**. Carrascal de la Font Roja Natural Park. **A**) General appearance of the umbra face. **B**) General appearance of the sunny face. **C**) Zone 1 of the sampling. **D**) Zone 2 of the sampling. **E**) Zone 3 of the sampling. **F**) Zone 4 of the sampling.



Fig. 3. Foto de la trampa de caida utilizada en el presente muestreo. / **Fig, 3**. Photo of the pitfall used in this sampling.

Identificación de las muestras

La mayor parte del análisis taxonómico se ha realizado en el gabinete personal del primer autor, en Barcelona, siguiendo las pautas habituales: observación y manipulación con microscopía óptica (lupa binocular) y el auxilio de la bibliografía general pertinente (Simon, 1914-1937; Locket & Millidge, 1951-1953; Locket *et al.*, 1974; Roberts, 1985-87, 1995; Nentwig *et al*., 2023). En algunos casos, nos hemos auxiliado con otra bibliografía, cuyas referencias se detallan a lo largo del texto. En los aspectos relativos a la Nomenclatura, hemos seguido el World Spider Catalog (2023). Acompañando a la descripción, tanto de la nueva especie como de otras que merecen ser destacadas en este trabajo, se aportan algunas fotos y dibujos de su facies general y/o su genitalia. Para los dibujos se ha empleado un retículo ocular cuadriculado que facilita la traslación precisa de las imágenes al papel; posteriormente las figuras se han sombreado en función de su relieve y grado de pigmentación. Las fotos de los ejemplares se han realizado en el CIBIO con una lupa trinocular LEICA M205C con cámara acoplada DFC450. El apilado de imágenes se ha llevado a cabo con el programa LASX. Para los retoques y la preparación de las láminas se ha recurrido a Photoshop.

Todas las medidas vienen expresadas en mm.

Abreviaturas utilizadas en el texto, tablas y/o figuras.

Caracteres somáticos. ♂: macho; ♀: hembra; **ALE**: ojos laterales anteriores; **AME**: ojos medios anteriores; **d**: dorsal; **fe**: fémur; **indet**.: no identificable **j**: juvenil inmaduro; **mt**: metatarso; **P I**: pata 1; **P II**: pata 2; **P III**: pata 3; **P IV**: pata 4; **ph**: pelo plumoso; **PLE**: ojos laterales posteriores; **PME**: ojos medios posteriores; **pl**: prolateral; **pt**: patela; **rl**: retrolateral; **ta**: tarso; **ti**; tibia; **v**: ventral. Genitalia masculina. **a**: alveolo; **c**: conductor; **cy**: cimbio; **e**: émbolo; **eb**: base del émbolo; **ed**: división embólica; **ma**: apófisis media; **RTA**: apófisis retrolateral de la tibia; **t**: tégula; **st**: subtégula. Genitalia femenina. **ar**: arco anterior; **ecd**: depresión central del epigino (foseta); **fd**: conducto de fecundación; **fo**: orificio de fecundación; **lw**: pared lateral (foseta del epigino); **s**: espermateca.

Resultados y discusión

a) **Resultados globales.**

Se han estudiado 782 ejemplares: 336 ♂♂ (43,0%), 147 ♀♀ (18,8%) y 299 jj (38,2%). Como resultado se han identificado 80 especies nominales (no se contabilizan *Cheiracanthium* sp., *Clubiona* sp., *Nomisia* sp., *Ero* sp., *Oxyopes* sp., *Phrurolithus* sp., ni *Theridion* sp., cuyos adultos hubieran representado la adición de otras siete especies); en total están representados 73 géneros y 27 familias (Anexos A y B).

b) Distribución temporal de la araneofauna

Resulta interesante observar que hay familias que dominan durante los meses más cálidos mientras que otras lo hacen durante los meses más fríos. Así, en noviembre, diciembre y enero resultan ser más abundantes las familias Linyphiidae y Liocranidae seguidos a cierta distancia por Gnaphosidae, mientras que durante los meses de julio, agosto y septiembre alternan en su dominancia las familias Gnaphosidae y Salticidae. El resto de familias presentan una menor abundancia que las anteriores y/o se encuentran activas en un periodo temporal reducido; entre ellas podemos destacar las familias Dysderidae, Nemesiidae y Atypidae. La familia Dysderidae aparece durante el periodo de noviembre a marzo. Dentro de la familia Nemesiidae, los machos de *Amblyocarenum walckenaeri* aparecen en junio y julio, mientras que los machos del género *Nemesia* lo hacen desde julio hasta octubre siendo el mes de agosto el de mayor abundancia. Los machos de la familia Atypidae aparecen activos solamente en noviembre y diciembre. Indicar, no obstante, que el muestreo solo ha contado con trampas pasivas tipo pitfall lo que dificulta la presencia de familias que viven y cazan en el estrato herbáceo, arbustivo y/o arbóreo.

La riqueza de especies de arañas muestreadas en la Font Roja alcanzó su máximo en el mes de noviembre, mientras que la abundancia siguió un patrón unimodal con su pico máximo en el mes de agosto (Figs. 4, 5). La zona presentó dos picos de lluvias durante el muestreo, uno en marzo (119,6 mm) y otro en noviembre (46,6 mm), después de un verano con 13,3 mm de media. El mes de agosto es el que aportó un mayor número de ejemplares adultos de ambos sexos, coincidiendo con la mayor temperatura y menor humedad relativa de todo el año, y con una precipitación de 18,4 mm. Veintisiete fue el número más alto en cuanto a riqueza de especies en un solo mes y ocurrió en noviembre. Ejemplares adultos aparecieron durante todos los meses que duró el muestreo (fig. 5 y Anexo C). Los datos climáticos han sido tomados de la estación Alcoy Menejador (ACIF).

c) Aspectos faunísticos y taxonómicos destacados (Anexo A)

Se describe una nueva especie: *Liocranoeca alcoiana* Barrientos & Hernández-Corral sp. nov. y se cita por primera vez para la Península Ibérica *Alopecosa aculeata* (Clerck, 1757). Son primera cita para la Comunidad Valenciana la familia Corinnidae Karsch, 1880, así como nueve géneros [*Agelescape* Levy, 1996; *Bolyphantes* C. L. Koch, 1837; *Castianeira* Keyserling, 1879; *Hahnia* C. L. Koch, 1841; *Improphantes* Saaristo & Tanasevitch, 1996; *Liocranoeca* Wunderlich, 1999; *Megalepthyphantes* Wunderlich, 1994; *Phaeocedus* Simon, 1893; y *Tapinocyba* Simon, 1884] y 19 especies [*Agelescape livida* (Simon, 1875), *Alopecosa simoni* (Thorell, 1872), *Bolyphantes nigropictus* Simon, 1884, *Castianeira badia* (Simon, 1877), *Episinus maculipes* Cavanna, 1876, *Eratigena feminea* (Simon, 1870), *Hahnia nava* (Blackwall, 1841), *Haplodrassus minor* (O. P.-Cambridge, 1879), *Heliophanus flavipes* (Hahn, 1832), *Improphantes decolor* (Westing, 1861), *Latrodectus tredecimguttatus* (Rossi, 1790), *Megalepthyphantes collinus* (L. Koch, 1872), *Mesiotelus mauritanicus* Simon, 1909, *Phaeocedus braccatus* (L. Koch, 1866), *Philodromus fuscolimbatus* Lucas, 1864, *Phlegra sierrana* (Simon, 1868), *Scotophaeus dolanskyi* Lisner, 2017, *Tapinocyba algirica* Bosmans, 2007 y, *Walckenaeria dalmasi* (Simon, 1915)]. Además son primera cita para la provincia de Alicante las especies *Agyneta rurestris* (C. L. Koch, 1836) y *Walckenaeria monoceros* (Wider, 1834).

Es interesante observar la presencia de 17 especies endémicas para el ámbito ibero-balear, lo que supone el 21,25% de las especies citadas en este trabajo: *Agroeca istia* de Biurrun & Barrientos, 2021; *Amaurobius minorca* Barrientos & Febrer, 2018; *Castianeira badia* (Simon, 1877); *Cybaeodes dosaguas* Ribera & De Mas, 2015; *Dysdera valentina* Ribera, 2004; *Eratigena serrana* (Barrientos & Sánchez-Corral, 2013); *Eusparassus levantinus* Urones, 2006; *Harpactea blasi* Ribera & Ferrández, 1986; *Iberesia brauni* (L. Koch, 1882);

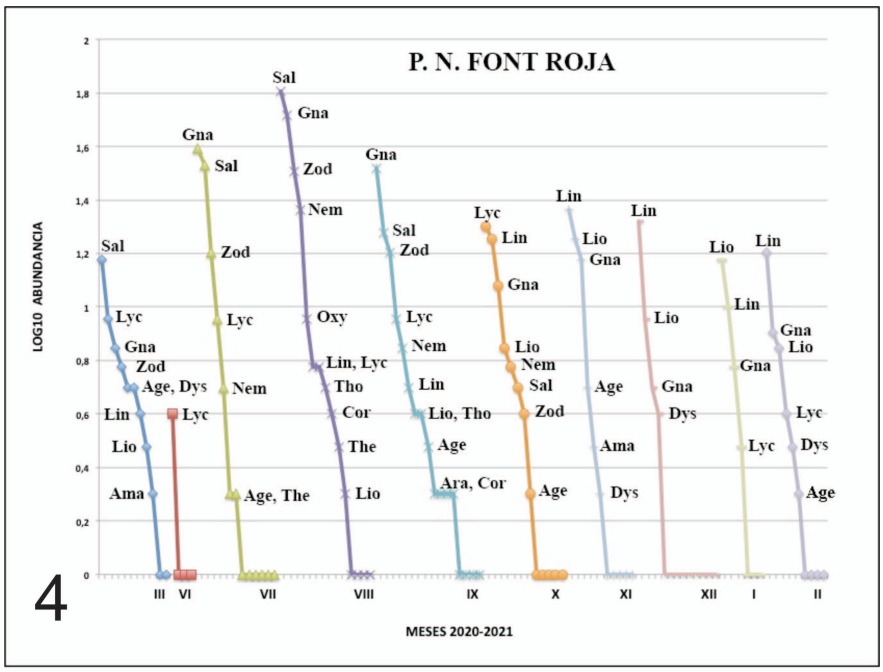


Figura 4. Gráficos de rango/abundancia que indican las familias más abundantes en cada mes de muestreo. **Figure 4**. Rank/abundance plots indicating the most abundant families in each sampling month. (Age) Agelenidae, (Ama) Amaurobiidae, (Ara) Araneidae, (Cor) Corinnidae, (Dys) Dysderidae, (Gna) Gnaphosidae, (Lio) Liocranidae, (Lyc) Lycosidae, (Nem) Nemesiidae, (Sal) Salticidae, (The) Theridiidae, (Tho) Thomisidae, (Zod) Zodariidae.

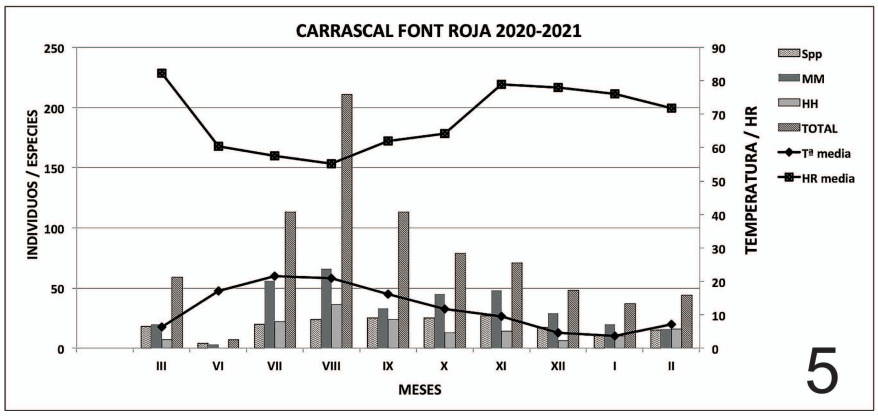


Figura 5. Distribución temporal de las especies e individuos sexados junto con las variables climáticas de temperatura en grados Celsius y % HR en el Carrascal de la Font Roja. MM: machos. HH: hembras. Total: individuos totales. **Figure 5**. Temporal distribution of the species and sexed individuals together with the climatic variables of temperature in Celsius degrees and % RH in the Carrascal de la Font Roja. MM: males. HH: females. Total: total individuals.

Liocranoeca alcoiana Barrientos & Hernández-Corral sp. nov.; *Nemesia qarthadasht* Calvo, 2021; *Nemesia valenciae* Kraus, 1955; *Parachtes loboi* Jiménez-Valverde *et al*., 2006; *Pterotricha simoni* Dalmas, 1921; *Scotophaeus dolanskyi* Lisner, 2017; *Zelotes pediculatoides* Senglet, 2011; y *Zodarion costablancae* Bosmans, 1994.

Comentamos a continuación aquellos aspectos faunísticos y/o taxonómicos que tienen mayor relevancia.

Familia AGELENIDAE C. L. Koch, 1837

En el muestreo realizado en el P. N. de la Font Roja se han podido detectar seis especies de la familia Agelenidae [*Agelescape livida* (Simon, 1875); *Eratigena atrica* (C. L. Koch, 1843); *Eratigena feminea* (Simon, 1870); *Eratigena fuesslini* (Pavesi, 1873); *Eratigena picta* (Simon, 1870); y *Eratigena serrana* (Barrientos & Sánchez-Corral, 2013)]. Cabe destacar la presencia de *A. livida* y *E. feminea* por tratarse de su primera cita para la Comunidad Valencia. *A. livida* coloniza matas arbustivas en zonas poco alteradas de la costa mediterránea peninsular, especialmente en Andalucía, donde forma grupos poblacionales muy patentes; al parecer también penetra ligeramente hacia el interior en áreas naturales bien conservadas. *E. feminea* es muy común en espacios ruderales y bosques clareados en todo el suroeste peninsular; por el contrario *E. fuesslini* domina en la mitad noreste de la Península. Ambas son especies comunes, lo que no impide que coincidan y compartan el hábitat boscoso del P. N. de la Font Roja con otras especies como *E. atrica* y *E. serrana* (éstas dos de mayor tamaño), que ocupan oquedades y taludes umbríos, y también con la pequeña *E. picta*, muy común en toda la Península en bosques umbríos aprovechando espacios más reducidos entre la hojarasca y el mantillo del suelo.

Familia AMAUROBIIDAE Thorell, 1870

Amaurobius minorca Barrientos & Febrer, 2018 ya había sido citada de la provincia de Alicante (Bosmans, 2021). Aunque fue descrita inicialmente de la isla de Menorca, y se ha citado también recientemente de Mallorca, parece estar bien afincada en las estribaciones más orientales de los sistemas Prebéticos (citas de las sierras de Aitana y La Serrella en Barrientos & Hernández-Corral, 2022), lo que abunda en una relación pretérita más estrecha entre el conjunto de las islas Baleares y estas montañas peninsulares. *A. minorca* parece encontrarse preferentemente en hábitats pedregosos, pero capaces de mantener adecuadamente la humedad del suelo.

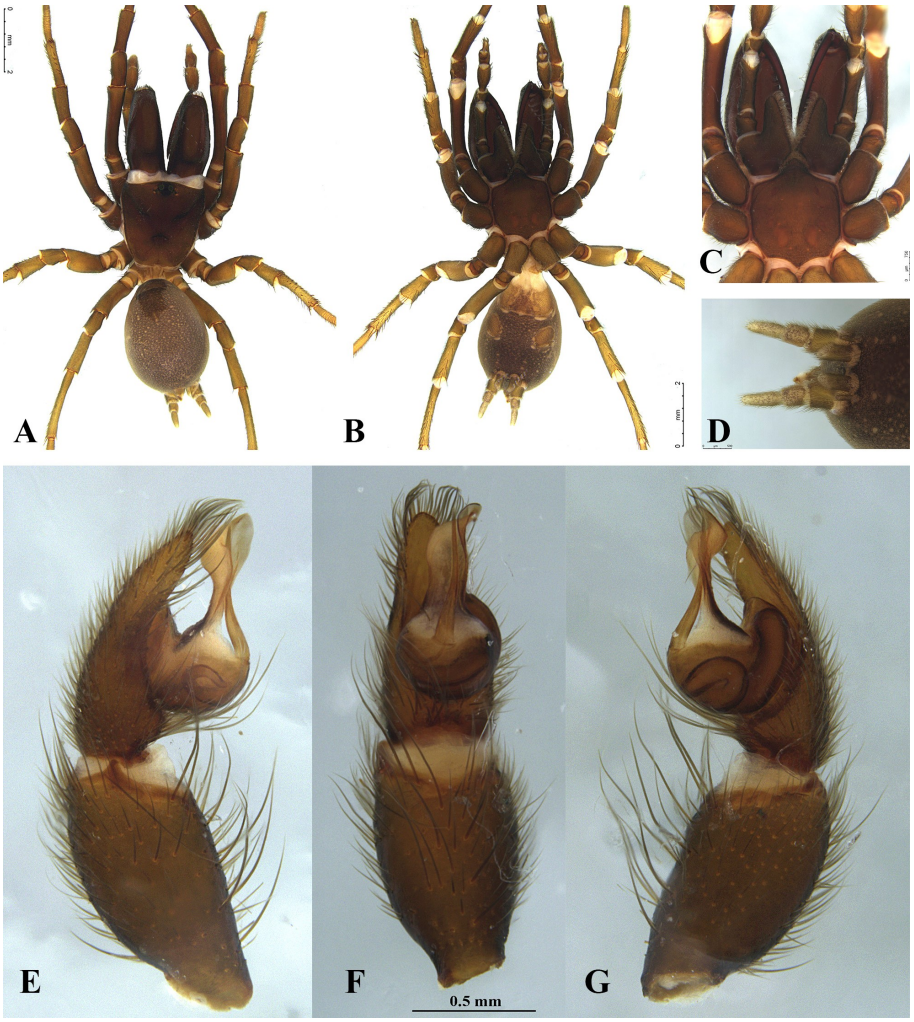


Figura 6. *Atypus affinis* macho. A) Habitus dorsal. B) Habitus ventral. C) Detalles esternón, coxas anteriores y quelíceros. D) Detalle hileras. E) Bulbo izquierdo en vista prolateral. F) Bulbo izquierdo en vista ventral. G) Bulbo izquierdo en vista retrolateral. **Figure 6**. *Atypus affinis* male. A) Dorsal habitus. B) Ventral habitus. C) Details of the sternum, anterior coxae and chelicerae. D) Spinneret detail. E) Left bulb in prolateral view. F) Left bulb in ventral view. G) Left bulb in retrolateral view.

Familia ATYPIDAE Thorell, 1870

Atypus affinis Eichwald, 1830 es una araña singular. Llama la atención tanto su morfología (fig. 6) como su biología (Kraus & Baur, 1974; Schwendinger, 1990). Aunque no es habitual detectar su presencia, los métodos de captura secuenciales e indirectos la suelen poner en evidencia, en especial por la movilidad reproductora de los machos. Ya había sido detectada en la provincia de Alicante (Hernández-Corral & Barrientos, 2022) y, a juzgar por los datos bibliográficos (de Biurrun *et al*., 2019) está presente en toda la Península.

Familia CORINNIDAE Karsch, 1880

Castianeira badia (Simon, 1877) es una especie relativamente grande, de tegumentos oscuros, casi negros, y hábitos nocturnos. Sus rasgos morfológicos y sus afinidades están recogidos en Camargo & Ferrández (1984). Los datos conocidos la sitúan en el cuadrante suroccidental de la Península, pero es muy probable que se encuentre en todas las zonas montañosas de la mitad sur, incluido el sistema Ibérico y los sistemas Béticos; las capturas realizadas en este estudio confirman esas sospechas, aunque es muy pobable que su presencia se limite a las áreas montañosas y esté ausente en las llanuras litorales y prelitorales de Levante. Ello, junto con la escasez de muestreos realizados en la Comunidad Valenciana, explicaría que ésta sea su primera cita para un territorio tan amplio y heterogéneo.

Familia DYSDERIDAE C. L. Koch, 1837

Entre las muestras del P. N. de la Font Roja hemos podido diferenciar tres especies de Dysderidae [*Dysdera valentina* Ribera, 2004; *Harpactea blasi* Ribera & Ferrández, 1986; y *Parachtes loboi* Jiménez-Valverde *et al*., 2006]. Las tres parecen ser comunes en las estribaciones montañosas de la parte oriental de Alicante. Previamente se han capturado en las sierras cercanas de Aitana y La Serrella (Barrientos & Hernández-Corral, 2022). Aunque fueron descritas como especies cavernícolas o troglobias, con estos datos, tanto *D. valentina* como *H. blasi* confirman su carácter troglófilo.

Familia GNAPHOSIDAE Pocock, 1898

De la familia Gnaphosidae se han recolectado 13 especies [*Callilepis concolor* Simon, 1914; *Drassodes difficilis* (Simon, 1878); *Drassodes luteomicans* (Simon, 1878); *Drassodex fritillifer* (Simon, 1914); *Haplodrassus minor* (O. P.-Cambridge, 1879); *Leptodrassus femineus* (Simon, 1873); *Phaeocedus braccatus* (L. Koch, 1866); *Pterotricha simoni* Dalmas, 1921; *Scotophaeus dolanskyi* Lisner, 2017; *Zelotes egregioides* Senglet, 2011; *Zelotes fulvopilosus* (Simon, 1878); *Zelotes pediculatoides* Senglet, 2011; y *Zelotes tenuis* (L. Koch, 1866)]. Un detalle de los datos concretos de captura de cada una de ellas se puede consultar en el Anexo II. No obstante, merece algún comentario el hallazgo de *H. minor*, *P. braccatus* y *S. dolanskyi*, por constituir ésta su primera cita para la Comunidad Valenciana.

H. minor ha sido recientemente caracterizada en Bosmans *et al*. (2018); los rasgos morfológicos de su genitalia, unido a sus reducidas dimensiones corporales, permiten una identificación inequívoca. Como otras especies de *Haplodrassus* Chamberlin, 1922, *H. minor* hace una vida epiedáfica y se oculta bajo las piedras; hay muy pocos datos de esta especie en el ámbito peninsular ibérico (de Biurrun *et al*., 2019), pero están considerablemente alejados entre sí, lo que sugiere que puede estar presente prácticamente en toda ella (siempre en ambientes naturales y boscosos).

En cambio, se dispone de más datos de *P. braccatus*; éstos se encuentran dispersos por toda la Península. Otra especie del mismo género, *P. mikha* Levy, 2009, descrita de Israel, ha sido mencionada en el Algarve (Portugal) por Wunderlich (2015); esta cita (salvo que sea errónea) nos obliga a prestar una atención especial a las muestras de *Phaeocedus* Simon, 1893 que se obtengan en suelo peninsular, en especial en su mitad suroccidental. Aunque recientemente se han descrito otras especies en el área mediterránea, en especial *Phaeocedus vankeeri* Chatzaki, 2019, presente en el sur de Francia (Chatzaki & Van Keer, 2019), el ejemplar capturado en el P. N. de la Font Roja parece corresponder a la especie principal: *P. braccatus*.

Lissner (2017) describió *S. dolanskyi* a partir de muestras obtenidas en el centro-este de Portugal; recentemente se localizó en el P. N. de Cabañeros (Barrientos *et al*. 2022) y se caracterizaron las hembras. Su ubicación parecía estar limitada a las zonas interiores de la Península (entre España y Portugal), pero en el material estudiado para este trabajo, se ha capturado una sola hembra que sin duda corresponde a esta especie. Con ello se amplía considerablemente el área de distribución conocida de la misma.

Familia HAHNIIDAE Bertkau, 1878

Hahnia nava (Blackwall, 1841) se cita por primera vez para la Comunidad Valenciana; también el propio género *Hahnia* C. L. Koch, 1841. *H. nava* es una especie extendida por toda Europa (Nentwig *et al*., 2023) y en la Península se ha citado de puntos muy variados (de Biurrun *et al*., 2019). Es un hecho llamativo, que solo encuentra justificación en el escaso número de prospecciones realizadas en dicha Comunidad y que, lógicamente, invita a tomar algunas iniciativas para subsanarlo.

Familia LINYPHIIDAE Blackwall, 1859

Se han capturado 18 especies de la familia Linyphiidae [*Agyneta rurestris* (C. L. Koch, 1836), *Bolyphantes nigropictus* Simon, 1884; *Canariphantes tenerrimus* (Simon, 1929); *Centromerus albidus* Simon, 1929; *Gonation rubens* (Blackwall, 1833); *Linyphia tenuipalpis* Simon, 1884; *Megalepthyphantes collinus* (L. Koch, 1872); *Improphantes decolor* (Westing, 1861); *Ostearius melanopygius* (O. P.-Cambridge, 1880); *Ouedia rufithorax* (Simon, 1881); *Parapelecopsis nemoralis* (Blackwall, 1841); *Pelecopsis bucephala* (O. P.-Cambridge, 1875); *Sintula diceros* Simon, 1926; *Tapinocyba algirica* Bosmans, 2007; *Tenuiphantes flavipes* (Blackwall, 1854); *Typhochrestus bogarti* Bosmans, 1990; *Walckenaeria dalmasi* (Simon, 1915); y *Walckenaeria monoceros* (Wider, 1834)]. *B. nigropictus*, *I. decolor*, *M. collinus*, *T. algirica* y *W. dalmasi* se citan por primera vez para la Comunidad Valenciana; *A. rurestris* y *W. monoceros* se hace para la provincia de Alicante.

En general las distintas especies de Linyphiidae que ahora se mencionan tienen una representación escasa en la muestra estudiada; solo hay un número de capturas discreto (entre 8 y 32 individuos) de *G. rubens*, *L. tenuipalpis*, *S. diceros*, *T. flavipes* y *W. monoceros*. Lo entendemos como testimonio de una población estable de las mismas en el P. N. de la Font Roja. Los datos que se obtienen habitualmente de las especies de esta familia suelen ser escasos, un mero testimonio de su presencia, sin que sea posible establecer algún tipo de consideraciones de índole ecológica.

Familia LIOCRANIDAE Simon, 1897

La familia Liocranidae tiene una diversidad media en el conjunto de las arañas. El World Spider Catalog (2023) recoge 35 géneros y 335 especies; 8 géneros y 24 especies se han mencionado en la fauna ibero-balear (Nentwig *et al*., 2023). Los Liocranidae tienen hábitos lapidícolas y, en algunos casos, cierta tendencia troglófila. En el muestreo desarrollado en el P. N. de la Font Roja se han obtenido ejemplares que pertenecen a cuatro géneros y seis especies [*Liocranoeca alcoiana* Barrientos & Hernández-Corral sp. nov.; *Agroeca istia* de Biurrun & Barrientos, 2021; *Agroeca inopina* O. P.-Cambridge, 1886; *Cybaeodes dosaguas* Ribera & De Mas, 2015; *Mesiotelus mauritanicus* Simon, 1909; y *Scotina celans* (Blackwall, 1841)]. Si añadimos a estos datos los que derivan de un estudio reciente (Barrientos & Hernández-Corral, 2022) llevado a cabo en las sierras próximas de Aitana y La Serrella [se mencionan, entre otras especies, *Agraecina lineata* (Simon, 1878), *Liocranum majus* Simon, 1878 y *Mesiotelus tenuissimus* (L. Koch, 1866)], resulta llamativo que el este de la provincia de Alicante albergue más de la mitad de los géneros y casi el 50% de las especies con representación ibérica [deben añadirse también (Hernández-Corral, 2022): *Cybaeodes liocraninus* (Simon, 1913) y *Cybaeodes magnus* Ribera & De Mas, 2015].

Mesiotelus mauritanicus Simon, 1909 se cita por primera vez en la Comunidad Valenciana; no obstante, existe una relación morfológica estrecha con *M. tenuissimus*, sin que la información bibliográfica publicada hasta la fecha ofrezca diferencias inequívocas entre ambas. Es un tema que merece más atención y estudio. Entre las muestras analizadas hemos encontrado bien representadas *Agroeca istia* (17 ♂♂ y 5 ♀♀) y *A. inopina* (4 ♂♂ y 1 ♀), pero también 7 ♂♂ y 1 ♀, que hemos asignado provisionalmente al género *Liocranoeca* Wunderlich, 1999, pero que no corresponde a ninguna de las especies conocidas, por lo que procedemos a su descripción.

Liocranoeca alcoiana Barrientos & Hernández-Corral sp. nov.

(Figs. 7, 8, 9, 10 y 11)

Material Tipo. ♂ Holotipo: P.N. de la Font Roja (Alcoi, Alicante), 03/10/2020, 30SYH13748182, 1304 m, trampa de caída, García-Teba leg. (MNCN 20.02/21137). ♀ Paratipo 1 (Alotipo): P.N. de la Font Roja (Alcoi, Alicante), 19/09/2020, 30SYH13748182, 1304 m, trampa de caída, García-Teba leg. (MNCN 20.02/21138). Paratipo 2: 1♂, P.N. de la Font Roja (Alcoi, Alicante), 19/09/2020, 30SYH13748182, 1304 m, trampa de caída, García-Teba leg. (MNCN 20.02/21139). Paratipo 3: 1♂, P.N. de la Font Roja (Alcoi, Alicante), 05/12/2020, 30SYH13748182, 1304 m, trampa de caída, García-Teba leg. (Col. J. A. Barrientos). Paratipo 4: 1♂, P.N. de la Font Roja (Alcoi, Alicante), 05/09/2020,

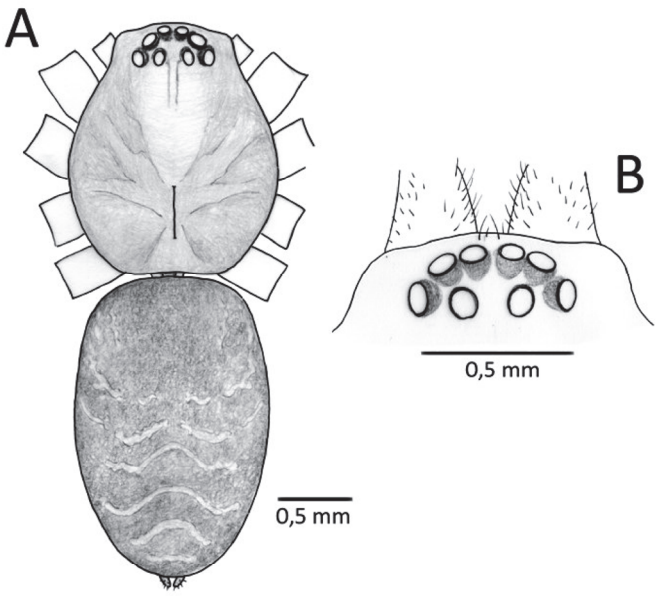


Fig. 7. *Liocranoeca alcoiana* sp. nov. A) Facies general del macho, vista dorsal. B) Disposición ocular, vista dorsal. **Fig. 7** *Liocranoeca alcoiana* sp. nov. A) General facies of the male, dorsal view. B) Eye arrangement, dorsal view.

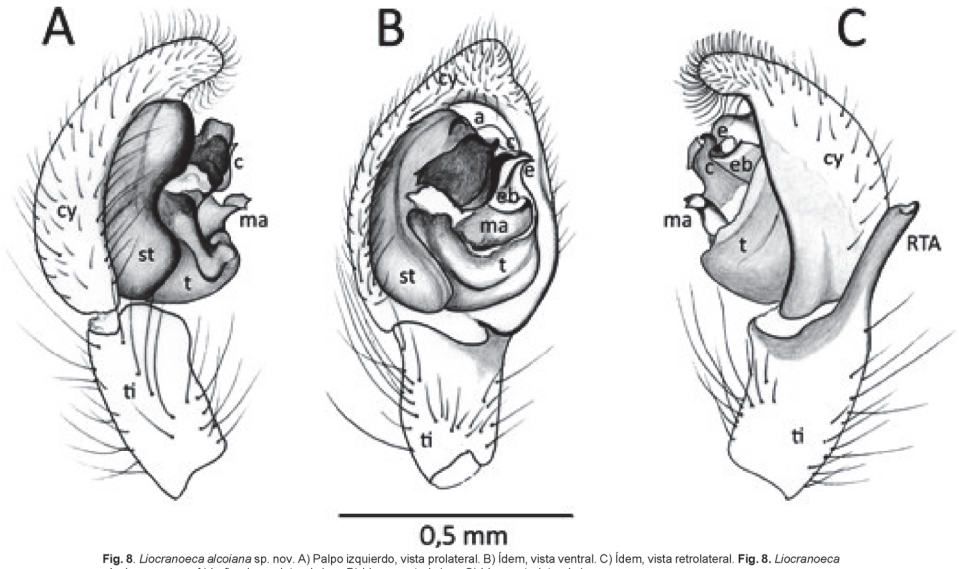


Fig. 8. *Liocranoeca alcoiana* sp. nov. A) Palpo izquierdo, vista prolateral. B) Ídem, vista ventral. C) Ídem, vista retrolateral. **Fig. 8.** *Liocranoeca alcoiana* sp. nov. A) Left palp, prolateral view. B) Idem, ventral view. C) Idem, retrolateral view.

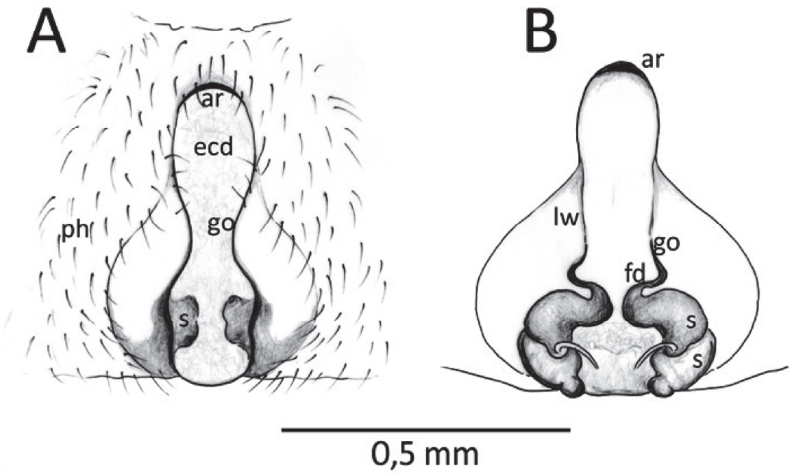


Fig. 9. *Liocranoeca alcoiana* sp. nov. A) Epigino, vista ventral. B) Vulva, vista dorsal. **Fig. 9**. *Liocranoeca alcoiana* sp. nov. A) Epigyne, ventral view. B) Vulva, dorsal view.

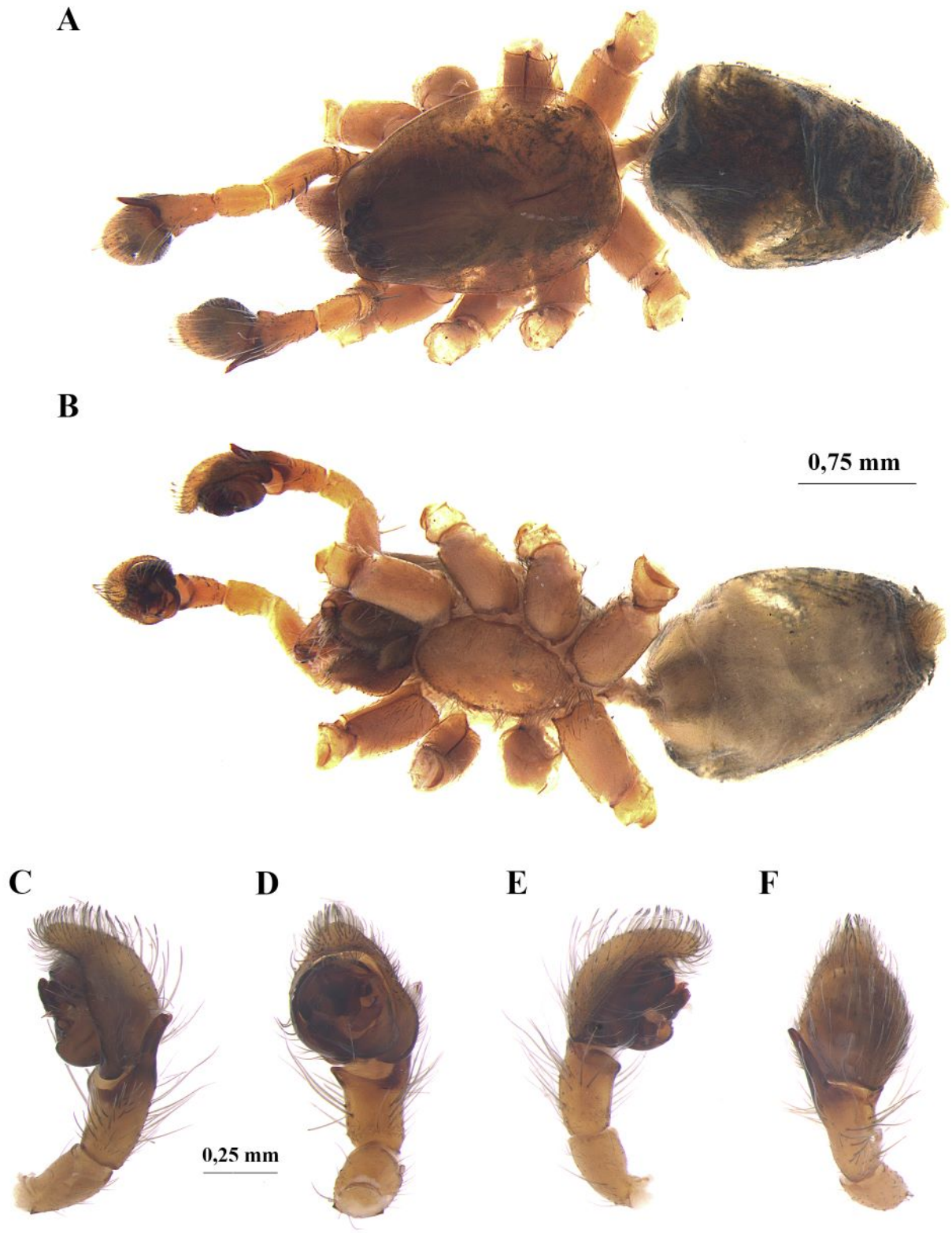


Fig. 10. *Liocranoeca alcoiana* sp. nov., macho. A) Habitus dorsal. B) Habitus ventral. C) Bulbo izquierdo en vista retrolateral. D) Ídem, en vista ventral. E) Ídem, en vista prolateral. F) Ídem, en vista dorsal. **Fig. 10**. *Liocranoeca alcoiana* sp. nov., male. A) Dorsal habitus. B) Ventral habitus. C) Left bulb in retrolateral view. D) Idem, in ventral view. E) Idem, in prolateral view. F) Idem, in dorsal view.

30SYH13748182, 1304 m, trampa de caída, García-Teba leg. (Col. J. A. Barrientos). Paratipo 5: 1♂, P.N. de la Font Roja (Alcoi, Alicante), 01/11/2020, 30SYH13748182, 1304 m, trampa de caída, García-Teba leg. (Col. CIBIO, U. de Alicante). Paratipo 6: 1♂, P.N. de la Font Roja (Alcoi, Alicante), 17/10/2020, 30SYH13748182, 1304 m, trampa de caída, García-Teba leg. (Col. CIBIO, U. de Alicante). Paratipo 7: 1♂, P.N. de la Font Roja (Alcoi, Alicante), 01/11/2020, 30SYH13748182, 1304 m, trampa de caída, García-Teba leg. (Col. CIBIO, U. de Alicante).

ETIMOLOGÍA. El término específico hace referencia a la localidad típica, Alcoi, topónimo del municipio al que pertenece el Parc Natural de la Font Roja.

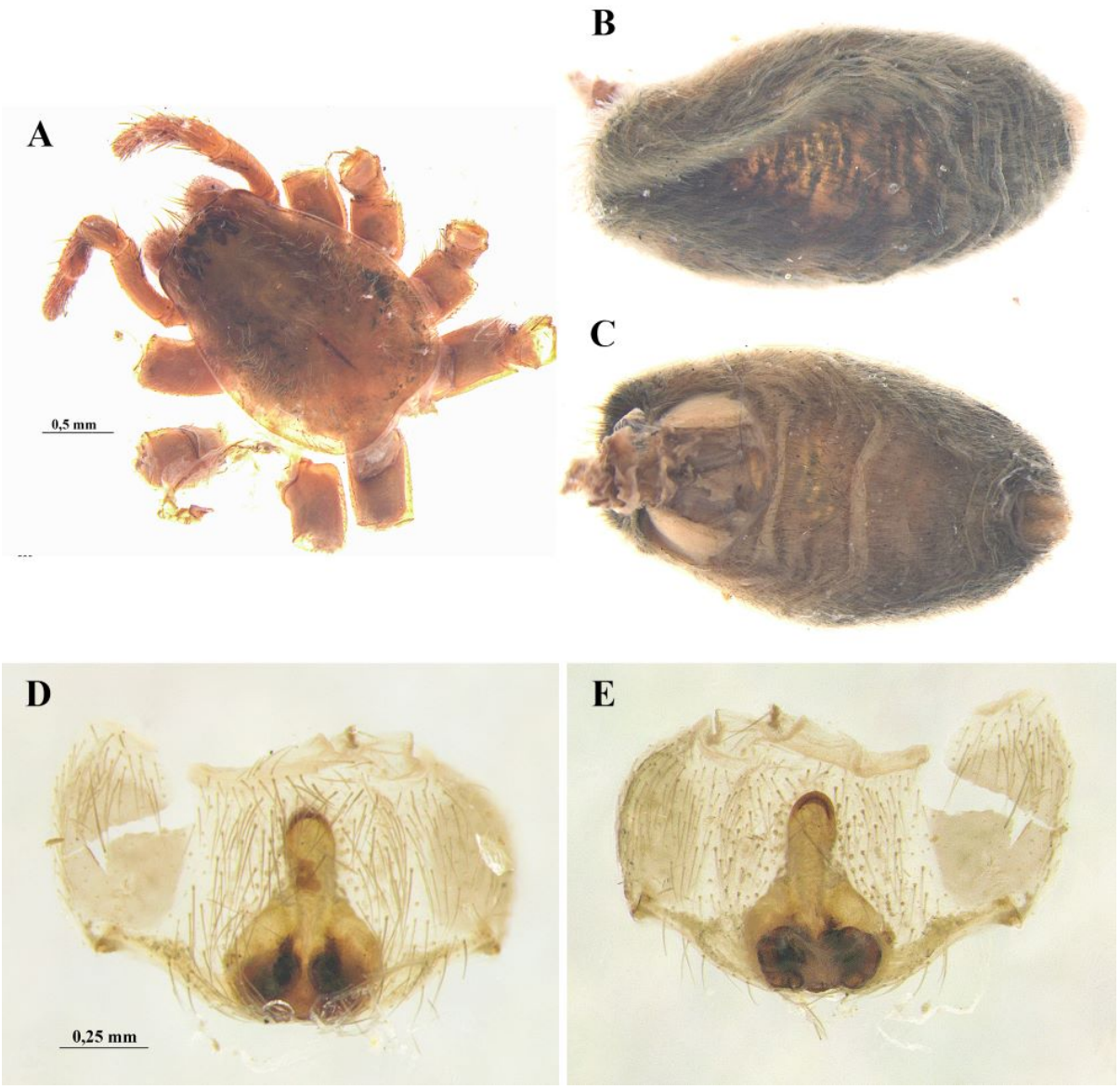


Fig. 11. *Liocranoeca alcoiana* sp. nov., hembra. A) Escudo prosómico, palpos y coxas. B) Opistosoma en vista dorsal. C) Opistosoma en vista ventral. D) Epigino en vista ventral. E) Vulva en vista dorsal. **Fig. 11**. *Liocranoeca alcoiana* sp. nov., female. A) Carapace, palps and coxae. B) Opisthosoma in dorsal view. C) Opisthosoma in ventral view. D) Epigyne in ventral view. E) Vulva in dorsal view.

DIAGNOSIS. Los machos se distinguen por el desarrollo de la apófisis retrotibial (RTA), larga y biselada en su extremo (casi tan larga como la tibia y alcanzando la mitad del cimbio) (figs. 8C y 10C); la parte basal de la división embólica es ancha y muy esclerosada, ocultando parcialmente el émbolo y el conductor que aparecen como dos puntas agudas en posición antero-retrolateral; la apófisis media, sobresale algo más atrás y su extremo es laminar y angulado (figs. 8C y 10C). El epigino es casi el doble de largo que ancho y presenta una depresión sagital alargada, de bordes algo comprimidos en la zona media (figs. 9A y 11D); su extremo anterior es redondeado y ligeramente esclerosado; en la zona posterior se transparentan ligeramente las espermatecas, guesas y formando una bolsa contorneada (fig. 9A y 11E).

DESCRIPCIÓN DEL MACHO HOLOTIPO (figs. 7, 8 y 10)

Medidas generales: Prosoma (longitud 1,60; anchura 1,40). Opistosoma (longitud 2,16; anchura 1,24). Longitud total del cuerpo 3,76 (excluido el pedicelo e hileras). Esternón (longitud 1,08; anchura 0,88).

OJOS (fig. 7B). Dispuestos en dos líneas transversales poco distorsionadas (L1: 0,41 ligeramente recurva; L2: 0,56, prácticamente recta); diámetro: ALE 0,10; PLE 0,10; AME 0,08; PME 0,09.

Quelíceros. Cortos y cubiertos de cerdas en su margen anterosagital; longitud frontal 0,58. Presentan dos pequeños dientes en el promargen y dos algo mayores en el retromargen.

Coloración (figs. 7A, 10A y 10B): Escudo prosómico de color pardo amarillento, oscurecido en las zonas laterales con varias betas o líneas de tonos pardos en disposición radial, sin que se formen bordes nítidos ni marginales ni centrales. Fóvea sagital bien marcada en su zona torácica. Esternón de color amarillento, así como las láminas maxilares. Pieza labial de color pardo uniforme. Opistosoma de color negro, con manchas difusas en su cara dorsal interrumpidas por varias líneas estrechas y transversales (en forma de acento circunflejo) de color amarillo pálido. Patas de tono pardo-amarillento, sin anillamientos.

Tabla III. Espinación del macho de *Liocranoeca alcoiana* sp. nov. (paratipo 2; patas del lado derecho).
Table III. Male spination of *Liocranoeca alcoiana* sp. nov. (paratype 2; right side legs).

	Fémur				Tibia				Metatarso			
	d	**v**	**pl**	**rl**	**d**	**v**	**pl**	**rl**	**d**	**v**	**pl**	**rl**
P I	1,1,0	0	1,1,0	0	0	2,2,2,2	0	0	0	2,0,0	0	0
PII	1,1,0	0	1,1,0	0	0	2,2,2,2,2	0	0	0	2,0,0	0	0
PIII	1,1,1	0	1,1,1	0	1,1,0	2,2,2	1,1,0	1,1,0	0	2,0,2	1,1,1	1,1,1
PIV	1,1,0	0	1,1,0	1,1,1	1,1,0	2,2	1,1,0	1,1,0	0	2,2,2	1,1,1	1,1,1

Patas. Medidas y espinación. Las patas siguen el siguiente orden en longitud: IV>I>II>III. La longitud de los principales artejos (paratipo 2, lado derecho), en forma polinómica (fe+pt+ti+mt+ta) son: PI (1,76+0,72+1,52+1,36+0,88); PII (1,48+0,64+1,20+1,24+0,68); PIII (1,36+0,56+1,04+1,12+ 0,68); PIV (1,92+0,66+1,88+1,76+1,12). La espinulación observada en el macho (paratipo 2) se detalla en la Tabla III.

Palpo masculino y bulbo copulador (figs. 8 y 10C-E). Patela (pt) y tibia (ti) son artejos cortos; la primera no diferencia nigún carácter especial; en cambio la tibia posee una apófisis retrotibial (RTA) alargada y orientada hacia delante, cabalgando sobre el tercio posterior de cimbio (figs. 8C y 10C). La apófisis retrotibial tiene sus bordes paralelos y su extremo biselado; está bien esclerosada desde su base. La zona basal y media de la tibia posee abundantes cerdas alargadas y finas, especialmente en ambos lados. El cimbio (cy) es corto y regularmente abombado, ocupado en su parte ventral por un amplio alveolo (a) que aloja el bulbo copulador (figs. 8B y 10D); el extremo del cimbio forma una punta gruesa y redondeda, ligeramente orientada hacia la parte ventral y cubierta (especialmente por la cara dorsal) con abundantes cerdas ligeramente plumosas (ph) y de una longitud similar (figs. 8A, 8C, 10C y 10E). El borde externo (retrolateral) del alveolo es liso y aristado, en especial en su mitad posterior.

En el bulbo en reposo destaca el desarrollo de la subtégula (sT) y la tégula (T) (figs. 8B y 10D), que ocupan la parte inferior del alveolo (la segunda) y las zonas prolateral y anterior (la primera). En la zona media anterior se encuentra la división embólica (ed), en la que destaca su zona basal, en forma de escama esclerosada, que recubre las piezas distales [conductor (c) y émbolo (e)]. El conductor y el émbolo asoman lateralmente, en la parte retrolateral anterior, con sus extremos agudos, en punta algo curvada (figs. 8C, 10C y 10E). En el mismo lado, un poco más atrás se encuentra la apófisis media (o tegular) (ma), que se estrecha hacia su extremo y sobresale ligeramente hacia la zona ventral; su extremo es laminar y de bordes angulados (figs. 8C y 10C).

DESCRIPCIÓN DE LA HEMBRA ALOTIPO (figs. 9 y 11)

Medidas generales: Prosoma (longitud 1,92; anchura 1,48). Opistosoma (longitud 2,44; anchura 1,64). Longitud total del cuerpo (excluidos el pedicelo y las hileras): 4,36. Esternón (longitud 1,16; anchura 0,96).

OJOS. Como en el macho, están dispuestos en dos líneas transversales (L1, ligeramente recurva: 0,41; L2, prácticamente recta: 0,50); diámetro: ALE 0,08; PLE 0,09; AME 0,06; PME 0,08.

Quelíceros. Similares a los del macho; longitud frontal 0,70. Presentan dos pequeños dientes en el promargen y también dos en el retromargen.

Coloración: Similar a la del macho. Escudo prosómico pardo amarillento, oscurecido en las zonas laterales con varias betas radiales difusas de tonos pardos. Fóvea bien marcada. Esternón y láminas maxilares de color amarillento. Pieza labial de color pardo uniforme. Opistosoma negro, con varias líneas estrechas y trasversales (en forma de acento circunflejo) de color amarillo pálido. Patas de color pardo-amarillento, sin anillamientos.

Patas. Medidas y espinación. El único ejemplar hembra capturado (paratipo 1 o alotipo) está mutilado, sin patas, por lo que no es posible ofrecer datos concretos de las mismas.

Epigino (figs. 9A y 11D). El epigino es alargado, con su mitad anterior más estrecha y dilatada en la mitad posterior, que adopta un contorno redondeado. En la parte media diferencia una depresión poco profunda (ecd), estrecha y alargada, que ocupa toda la parte media de la placa; sus bordes (lw) son algo comprimidos en la zona media y su extremo anterior es redondeado y ligeramente esclerosado (ar); en la mitad posterior se entrevén por transparencia las espermatecas (s).

Vulva (figs. 9B y 11E). En el estrechamiento de los bordes laterales de la depresión se inician los canales de fecundación (fd). Éstos son cortos, dilatándose cada uno en una bolsa gruesa y contorneada, que muestra aparentemente dos partes (s).

DISTRIBUCIÓN Y HÁBITAT. Sólo se conoce de la localidad típica (el Parque Natural de la Font Roja, Alcoi, Alicante). Todos los ejemplares que forman la serie típica se han capturado en un bosque de "carrasca", *Quercus rotundifolia*, mediante trampas de caída en los meses de octubre a diciembre.

DISCUSIÓN. Los caracteres somáticos principales de *L. alcoiana* coinciden principalmente con los que presentan los géneros *Agroeca* Westring, 1861 y/o *Liocranoeca* Wunderlich, 1999: la línea ocular anterior (L1) es claramente recurva y algo más corta que la línea posterior (L2) prácticamente recta; la longitud corporal está próxima o rebasa ligeramente los 4 milímetros; los tarsos de las patas carecen de pelos espatulados y no forman densas escópulas; desarrollan triángulos precoxales poco perceptibles [lo que les acercaría a *Liocranun* L. Koch, 1866 y *Mesiotelus* Simon, 1897, pero las patas anteriores (P1 y P2) están armadas ventralmente con sólo dos pares de espinas biseriadas]. Atendiendo a los caracteres de la genitalia femenina, la forma de la placa del epigino (con su depresión media alargada) y la disposición de los conductos y espermatecas, acercan claramente *L. alcoiana* al género *Liocranoeca* y la alejan de los distintos modelos de epigino que se han descrito en *Agroeca*.

En cambio la genitalia masculina, aunque coincide en el desarrollo de una apófisis retrotibial larga y de bordes paralelos [presente solo en *L. striata* (Kulczyński, 1882)], no coincide con otros caracteres de las distintas especies conocidas, ni en la forma de la apófisis retrotibial, ni en la posición y desarrollo del émbolo. Repasando las distintas especies de Liocranidae conocidas en Europa (Nentwig *et al*., 2023), observamos que el bulbo copulador de *L. alcoiana* parece coincidir en algunos caracteres con *Liocranum inornatum* (L.

Koch, 1882), aunque difiere claramente de él, tanto por la forma de la apófisis retrotibial como por la longitud de dicho artejo, siendo también claramente distinta la forma del epigino en la hembra. Podemos concluir que la nueva especie, siendo claramente distinta de las especies ya conocidas, se ubica con cierta dificultad en los géneros conocidos. Por ello creemos que su ubicación en *Liocranoeca* debe considerarse provisional.

Familia LYCOSIDAE Sundevall, 1833

Si bien la mención de *Hogna radiata* (Latreille, 1817) se puede considerar banal, ya que se encuentra con frecuencia y de manera abundante prácticamente en toda la Península, la cita de *Alopecosa simoni* (Thorell, 1872) y *Alopecosa aculeata* (Clerck, 1757) son novedades para la Comunidad Valenciana; *A. aculeata* también lo es para todo el ámbito iberobalear.

A. simoni se encuentra presente en los países más occidentales de Europa, siendo frecuente en España y Portugal; es una *Alopecosa* Simon, 1885 de tamaño medio, que posee unos caracteres morfológicos fácilmente reconocibles (Lugetti & Tongiorgi, 1969). En cambio *A. aculeata* se ha mencionado prácticamente en toda Europa, a excepción de España y Portugal. Siguiendo el análisis realizado por Kronestedt (1990), excepción hecha de los caracteres etológicos, hemos podido asignar a *A. aculeata* los ejemplares de una generosa población (19 ♂♂, 6 ♀♀ y 9 jj) de "alopecosas" ubicada en el P. N. de la Font Roja. Coinciden con ella en la forma del émbolo y la pálea, así como de la apófisis tegular, en el bulbo copulador de los machos; también, por otro lado, en la forma externa del epigino y de los canales de fecundación y espermatecas internas de las hembras. Además el patrón pigmentatio resulta coincidente (Lugetti & Tongiorgi, 1969). No obstante, siendo *A. aculeata* una especie de gran tamaño y formando poblaciones muy patentes, resulta sorprendente que no se haya detectado todavía en otros puntos de la Península.

Familia NEMESIIDAE Simon, 1889

La familia Nemesiidae incluye actualmente 10 géneros a nivel mundial (WSC, 2023), con gran presencia en los países circunmediterráneos. Tres de los géneros aparecen en el Parque Natural del Carrascal de la Font Roja. *Amblyocarenum walckenaeri* (Lucas, 1846) se evidencia con la captura de tres machos e *Iberesia brauni* (L. Koch, 1882) con la captura de dos machos. El resto de las muestras de esta familia (33 machos y 6 juveniles) pertenecen al género *Nemesia* Audouin, 1826. Al contrario de lo que ocurre en los dos géneros anteriores, *Nemesia* está representada en las muestras de la Font Roja por tres especies; si bien, en este caso, la identidad específica de las mismas resulta algo más conflictiva.

El género *Nemesia* está representado en la fauna iberobalear (de Biurrun *et al*., 2019) por 27 especies, además de *N. qarthadasht* Calvo, 2021, *N. entinae* Calvo & Pagán, 2022, *N. amicitia* Pertegal & Molero-Baltanás, 2022 y *N. shenlongi* Pertegal *et al.*, 2022, de publicación más reciente. Hasta la fecha, la presencia del género *Nemesia* en la provincia de Alicante se limita a cuatro especies: *N. caementaria* (Latreille, 1799), *N. dorthesi* Thorell, 1875, *N. dubia* O. P.-Cambridge, 1874 y *N. qarthadasht* (Hernández-Corral, 2022). Algunas de las especies presentan una caracterización deficiente y, en general, un conocimiento precario de su área de distribución, biología y comportamiento etológico, como es el característico diseño de sus galerías o nidos. Algunos trabajos recientes (Calvo, 2021; Calvo & Pagán, 2022; Decae, 2005; Decae *et al*., 2007; Decae, 2012; Luis de la Iglesia, 2020; Pertegal & Molero-Baltanás, 2022; Pertegal *et al*., 2022; Zonstein, 2017; Zonstein, 2019) están poniendo remedio a esta laguna informativa, pero todavía subsisten la mayor parte de estas dificultades. Todo ello pone en evidencia la necesidad de una revisión en profundidad de los datos existentes y una caracterización diferencial del conjunto de las especies ibero-baleares.

La mayor parte de las muestras de *Nemesia* (19♂♂) las hemos asignado a *Nemesia dubia* O. P.-Cambridge, 1874, una especie que se encuentra extendida principalmente por las comarcas del Este peninsular, a lo largo del Mediterráneo. Los datos que ahora aportamos confirman su presencia en la provincia de Alicante. Los rasgos morfológicos que presenta el bulbo copulador se ajustan al descrito previamente (Blasco-Feliu, 1985), así como la pilosidad corporal y el patrón pigmentario. No obstante Blasco-Feliu (1985) analiza la variabilidad que muestran los individuos de San Juan de la Peña en otros caracteres, en especial de la espinulación; y reclama la necesidad de una revisión del conjunto de especies afines, que integrarían un posible "grupo dubia" o que quizá pertenecerían a una misma entidad específica.

Un pequeño grupo de ejemplares, capturados en la zona culminal del P. N. de la Fon Roja (zona de muestreo nº 3) guardan una relación evidente con *Nemesia qarthadasht* Calvo, 2021. Aunque no hemos podido corroborar alguno de los caracteres que se mencionan en su diagnosis (el pequeño dentículo que presenta hacia la mitad del émbolo), sí coinciden con otros (su color claro y pequeño tamaño, la forma general del bulbo y su émbolo ligeramente curvado, el patrón pigmentario dorsal del opistosoma, la fóvea con una hendidura, etc.), con lo que el área de distribución de esta especie se vería extendida hacia el Este por la provincia de Alicante.

Finalmente hay otro grupo de machos, en los que la forma del bulbo copulador coincide claramente con la representada por Zonstein (2019) para *Nemesia valenciae* Kraus, 1955; así como con los ejemplares capturados en los arenales interiores de la cuenca del Vinalopó (Hernández-Corral & Barrientos, 2022). Ocurre con esta especie algo similar a lo señalado para *N. dubia*. Se hace necesario un estudio detallado de las poblaciones detectadas, tanto de su potencial variabilidad intrapoblacional como de sus conexiones corológicas con los datos previamente conocidos; y, como en el caso anterior, podría tratarse de un complejo de especies afines o simplemente de una misma especie biológica sujeta a pequeñas variaciones locales.

Además de la conveniencia de confirmar definitivamente la identidad específica de estas muestras, queda en evidencia la necesidad de conocer los rasgos diferenciales de su biología; un conocimiento que sin duda explicará su coincidencia en un espacio geográfico reducido (aunque heterogéneo) como es el P. N. del Carrascal de la Font Roja.

Familia PHILODROMIDAE Thorell, 1870

Aunque esta es su primera cita para la Comunidad Valenciana, *Philodromus fuscolimbatus* Lucas, 1864 es una especie común, extendida por todos los países que circundan el Mediterráneo y frecuentemente citada en la Península Ibérica (de Biurrun *et al*., 2019). Se ha capturado una ♀ (y 1 j) que se reconoce bien por la forma de su epigino y la de sus canales de fecundación y espermatecas (Muster & Thaler, 2004).

Familia SALTICIDAE Blackwall, 1841

Se citan 9 especies de la familia Salticidae [*Aelurillus luctuosus* (Lucas, 1846); *Ballus chalybeius* (Walckenaer, 1802); *Euophrys frontalis* (Walckenaer, 1802); *Evarcha jucunda* (Lucas, 1846); *Heliophanus flavipes* (Hahn, 1832); *Iberattus semiglabratus* (Simon, 1868); *Icius hamatus* (C. L. Koch, 1846); *Phlegra sierrana* (Simon, 1868); y *Thyene imperialis* (Rossi, 1846)]. La mayoría son especies comunes, previamente citadas en la provincia de Alicante; hacen excepción *H. flavipes* y *P. sierrana* que se mencionan por vez primera en la Comunidad Valenciana. Ambas pertenecen a géneros bien diversificados que exigen especial atención al observar sus rasgos morfológicos de diagnosis; tal es el caso de *P. sierrana*, cuya forma de la apófisis retro-tibial (RTA) es característica separándola bien del resto de especies comunes en la fauna ibero-balear; se han capturado 9 ♂♂, todos ellos tienen dicha apófisis en forma de pinza de cangrejo (Azarkina, 2004).

Las especies de la familia Salticidae pululan con frecuencia sobre la vegetación herbácea y arbustiva, pero son menos frecuentes en el estrato epiedáfico por lo que probablemente están infravaloradas en los resultados obtenidos con trampas de caída; en cambio, los resultados obtenidos para *A. luctuosos* (27 ♂♂, 7 ♀♀ y 82 jj) señalan que los hábitos de esta especie están muy vinculados al suelo.

Familia THERIDIIDAE Sundevall, 1833

Las especies que elaboran telas de caza, vinculadas a la vegetación, están escasamente representadas en nuestros resultados. Ello se debe al uso exclusivo de trampas de caída. No obstante, se ha capturado algún ejemplar de las especies *Enoplognatha franzi* Wunderlich, 1995; *Episinus maculipes* Cavanna, 1876; y *Latrodectus tredecimguttatus* (Rossi, 1790). Las dos últimas se mencionan por primera vez en la Comunidad Valenciana. A destacar la captura de un ♂ de *L. tredecimguttatus* y una ♀ de *E. maculipes*. En ambos casos los rasgos morfológicos de su genitalia nos han facilitado su reconocimiento (Nentwig *et al*., 2023).

d) Diferencias faunísticas entre la cara de solana y la de umbría (Tabla IV)

La sierra de la Font Roja presenta una orientación E-W, estando una de sus caras mirando al N y la otra lo hace al S. Estas diferencias de orientación originan cambios en las condiciones ambientales que afectan tanto a la vegetación como a la fauna. Resulta interesante observar las preferencias de hábitat que escoge cada una de las especies de arañas incluidas en el presente estudio. Mientras algunas especies se distribuyen en ambos tipos de ambientes sin problema, las hay con una autoecología más exigente prefiriendo solo uno de los ambientes, solana o umbría. No obstante, los datos que manejamos en este trabajo tienen un valor cuantitativo relativamente escaso, por lo que deben considerarse más como una hipótesis de trabajo que como una conclusión definitiva.

Tabla IV. P.N. el Carrascal de la Font Roja. Especies incluidas en el presente trabajo con presencia en sólo una de las caras de la sierra.
Table IV. The Carrascal de la Font Roja N.P. Species included in the present work with presence in only one of the faces of the mountain range.

FONT ROJA - UMBRÍA (N)	FONT ROJA - SOLANA (S)
AGELENIDAE	**AGELENIDAE**
Eratigena feminea (Simon, 1870)	*Eratigena atrica* (C. L. Koch, 1843)
Eratigena fuesslini (Pavesi, 1873)	**ARANEIDAE**
ARANEIDAE	*Mangora acalypha* (Walckenaer, 1802)
Zygiella x-notata (Clerck, 1757)	**GNAPHOSIDAE**
DYSDERIDAE	*Drassodes luteomicans* (Simon, 1878)
Dysdera valentina Ribera, 2004	*Leptodrassus femineus* (Simon, 1873)
GNAPHOSIDAE	*Pterotricha simoni* Dalmas, 1921
Drassodes difficilis (Simon, 1878)	*Scotophaeus dolanskyi* Lissner, 2017
Phaeocedus braccatus (L. Koch, 1866)	*Zelotes tenuis* (L. Koch, 1866)
HAHNIIDAE	**LINYPHIIDAE**
Hahnia nava (Blackwall, 1841)	*Centromerus albidus* Simon, 1929
LINYPHIIDAE	*Megalepthyphantes collinus* (L. Koch, 1872)
Bolyphantes nigropictus Simon, 1884	*Parapelecopsis nemoralis* (Blackwall, 1841)
Improphantes decolor (Westring, 1861)	*Pelecopsis bucephala* (O. P.-Cambridge, 1875)
Ostearius melanopygius (O. P.-Cambridge, 1880)	*Tapinocyba algirica* Bosmans, 2007
Walckenaeria dalmasi (Simon, 1915)	**LIOCRANIDAE**
SALTICIDAE	*Agroeca inopina* O. Pickard-Cambridge, 1886
Heliophanus flavipes (Hahn, 1832)	*Cybaeodes dosaguas* Ribera & De Mas, 2015
Icius hamatus (C. L. Koch, 1846)	*Liocranoeca alcoiana* **sp. nov.**
Thyene imperialis (Rossi, 1846)	*Mesiotelus mauritanicus* Simon, 1909
SPARASSIDAE	**OONOPIDAE**
Eusparassus levantinus Urones, 2006	*Oonops tubulatus* Dalmas, 1916
ULOBORIDAE	**PALPIMANIDAE**
Uloborus walckenaerius Latreille, 1806	*Palpimanus gibbulus* Dufour, 1820
	SALTICIDAE
	Ballus chalybeius (Walckenaer, 1802)
	Euophrys frontalis (Walckenaer, 1802)
	Evarcha jucunda (Lucas, 1846)
	Iberattus semiglabratus (Simon, 1868)
	THERIDIIDAE
	Enoplognatha franzi Wunderlich, 1995
	Episinus maculipes Cavanna, 1876
	Latrodectus tredecimguttatus (Rossi, 1790)

Agradecimiento

Agradecer a la Administración del Parque Natural del Carrascal de la Font Roja por facilitar los permisos para la realización del muestreo y también a Andreu Bonet Jornet por su colaboración. Al Instituto de Investigación CIBIO, Universidad de Alicante, por las facilidades aportadas para la realización de las microfotografías.

Bibliografía

AZARKINA, G. 2004. New and poorly known Palaearctic species of the genus *Phlegra* Simon, 1876 (Araneae, Salticidae). *Revue Arachnologique*, **14**: 73-108.

BARRIENTOS, J. A. & J. HERNÁNDEZ-CORRAL 2022. Nuevos datos sobre las arañas (Araneae) de la Sierra de Aitana (Alicante, España). *Revista Ibérica de Aracnología*, **40**: 81-108.*

BARRIENTOS, J. A., G. MARTÍNEZ-DEVESA, J. HERNÁNDEZ-CORRAL & E. MICÓ 2022. Arañas (Arachnida: Araneae) de las oquedades arbóreas en el Parque Nacional de Cabañeros (Ciudad Real, España). *Revista Ibérica de Aracnología*, **40**: 33-36.*

BLASCO-FELIU, A. 1985. Artrópodos epigeos del macizo de San Juan de la Peña (Jaca, Prov. de Huesca): V. Notas sobre arañas migalomorfas. *Pirineos*, **126**: 5-28.

BORONAT, J., C. LANCIS, M. FRESNEDA & C. MANSANET 1989. *Protección del medio físico de la Font Roja*. Instituto de Cultura Jjuan Gil-Albert, Diputación de Alicante. 121pp.

BORREGUERO, M.D., M. BLANES, D. CLIMENT, J. L. GUTIÉRREZ, L. FLETCHER, E. JAVALOYES, E. R. MAESTRE, L. PASTOR, A. RIGUAL, J. M. SANTAMARÍA, M. D. SAMPER & S. VARELLA 1984. *Espacios Naturales Provincia de Alicante*. Publicado por el Colegio oficial de Arquitectos de Alicante. Editores Caja de Ahorros provincial de Alicante y Diputación Provincial. pp. 177-181.

BOSMANS, R. 1994. Revision of the genus *Zodarion* Walckenaer, 1833 in the Iberian Peninsula and Balearic Islands (Araneae, Zodariidae). *Eos*, **69**: 115-142.

BOSMANS, R. 2021. Notes on Amaurobiidae (Araneae) of the Western Mediterranean region, with the description of a new species. *Arachnology*, **18**(8): 873-882.

BOSMANS, R., O. KHERBOUCHE-ABROUS, S. BENHALIMA & C. HERVÉ 2018. The genus *Haplodrassus* Chamberlin, 1922 in the Mediterranean and the Maghreb in particular (Araneae: Gnaphosidae). *Zootaxa*, **4451**: 1-67.

BOSMANS, R., P. PANTINI, P. LOVERRE & R. ADDANTE 2019. New species and new records of ant-eating spiders from Mediterranean Europe (Araneae: Zodariidae). *Arachnologische Mitteilungen*, **57**: 8-20.

CALVO GARCÍA, M. 2021. *Nemesia qarthadasht* sp. n., especie nueva de *Nemesia* Audouin, 1826 (Araneae, Mygalomorphae, Nemesiidae) de la Península Ibérica. *Revista Ibérica de Aracnología*, **39**: 17-28. & correction: **41** (2022): 142. *

CALVO, M. & M. PAGÁN 2022. *Nemesia entinae* sp. n.; descripción de una nueva especie de *Nemesia* Audouin, 1826 (Aranae [sic], Mygalomorphae, Nemesiidae) de la Península Ibérica. *Revista Ibérica de Aracnología*, **41**: 41-50.*

CAMARGO, M. & M. A. FERRÁNDEZ 1984. Redescripción y afinidades de *Castianeira badia* (Simon 1877) (Araneida: Clubionidae). *Miscellanea Zoologica*, **8**: 297-300.

CHATZAKI, M. & J. VAN KEER 2019. Ground spiders (Araneae: Gnaphosidae, Liocranidae, Prodidomidae) from the Greek islands Rodos, Symi and Karpathos, with the description of new species. *Zootaxa*, **4646**(3): 434-460.

DALMAS, R. DE 1921. Monographie des Araignées de la section des *Pterotricha* (Araneae: Gnaphosidae). *Annales de la Société Entomologique de France*, **89**: 233-328.

DE BIURRUN, G., C. PRIETO & E. BAQUERO 2019. *Iberian Spider Catalog. Actualización del mapa web y sus funciones.* Arachnomap 2019. Online at: http://sea-entomologia.org/gia/map [Accessed on: 11/01/2023].

DECAE, A. E. 2005. Trapdoor spiders of the genus *Nemesia* Audouin, 1826 on Majorca and Ibiza: taxonomy, distribution and behaviour (Araneae, Mygalomorphae, Nemesiidae). *Bulletin of the British Arachnological Society*, **13**: 145-168.

DECAE, A. E. 2012. Geography-related sub-generic diversity within the Mediterranean trapdoor spider genus *Nemesia* (Araneae, Mygalomorphae, Nemesiidae). *Arachnologische Mitteilungen*, **43**: 24-28.

DECAE, A., P. CARDOSO & P. SELDEN 2007. Taxonomic review of the Portuguese Nemesiidae (Araneae, Mygalomorphae). *Revista Ibérica de Aracnología*, **14**: 1-18.*

DIPUTACIÓN PROVINCIAL DE ALICANTE 1984. *Espacios Naturales provincia de Alicante*. Edita la Caja de Ahorros Provincial de Alicante. Impreso en gráficas Díaz, Marte 6, Alicante. 286 pp. I.S.B.N. 84-500-9826-4.

GENERALITAT VALENCIANA 1987. Decreto 49/1987, de 13 de abril, del Consell de la Generalitat Valenciana, de declaración del Parque Natural de "Carrascal de la Font Roja" (DOGV núm. 591 de 21.05.1987).

GENERALITAT VALENCIANA 2004. Decreto 121/2004, de 16 de julio, del Consell de la Generalitat (DOGV núm. 480 de 20.07.2004).

GIL-ORTIZ, R., M. MARTÍNEZ & R. JIMÉNEZ-PEYDRÓ 2010. New contributions to Pseudonapomyza (Diptera: Agromyzidae) from Spain: Addition of three new species. *Journal of Insect Science*, **10** (1).

GILABERT, S., A. MARTÍNEZ-TORMO, A. BLAY-LUZÓN & A. BONET 2022a. Fauna vertebrada de los campos abandonados del Parque Natural del Carrascal de la Font Roja. *Iberis*, **10**: 25-38.

GILABERT, S., E. ROSILLO, J. A CANDELA, A. MAS & A. COLINO 2022b. Primera población registrada de *Hyla meridionalis* en la provincia de Alicante. *Bol. Asoc. Herpetol. Esp.*, **33**: 141-144.

HERNÁNDEZ-CORRAL, J. 2022. Compendio de las species de arañas (Araneae) citadas en la provincia de Alicante, sudeste de Espana. *Revista Ibérica de Aracnología*, **41**: 109-120.*

HERNÁNDEZ-CORRAL, J. & J. A. BARRIENTOS 2021. Arañas (Arachnida: Araneae) de la ciudad de Elche y sus Pedanías (Alicante, Comunidad Valenciana, España). *Revista Ibérica de Aracnología*, **38**: 36-51.*

HERNÁNDEZ-CORRAL, J. & J. A. BARRIENTOS 2022. Arácnidos (Arachnida) de los arenales no costeros de Almorxó, Pruna, Peñarrubia y Zafra (Alicante, España). *Revista Ibérica de aracnología*, **41**: 63-74.*

JOCQUÉ, R. & R. BOSMANS 2001. A revision of the genus *Selamia* with the description of *Amphyledorus* gen. n. (Araneae, Zodariidae). *Bulletin de L'Institut Royal des Sciences Naturelles de Belgique, Entomologie*, **71**: 115-134.

KRAUS, O. & H. BAUR 1974. Die Atypidae der West-Paläarktis: Systematik, Verbreitung und Biologie (Arach.: Araneae). *Abhandlungen und Verhandlungen des Naturwissenschaftlichen Vereins in Hamburg (NF)*, **17**: 85-116.

KRONESTEDT, T. 1990. Separation of two species standing as *Alopecosa aculeata* (Clerck) by morphological, behavioural and ecological characters, with remarks on related species in the *pulverulenta* group (Araneae, Lycosidae)**.** *Zoologica Scripta*, **19**: 203-225.

LAGUNA, E., L. SERRA-LALIGA & S. RÍOS 2022. Las plantas mesegueras de los parques naturales Carrascal de la Font Roja y Serra de Mariola: una asignatura pendiente para la conservación. *Iberis*, **10**: 129-144.

LISSNER, J. 2017. New records of spiders (Araneae) from Portugal. *Arachnologische Mitteilungen*, **54**: 52-58.

LOBO J.M., F. MARTÍN-PIERA & C. M. VEIGA 1988. Las trampas pitfall con cebo, sus posibilidades en el estudio de las comunidades coprófagas de Scarabaeoidea (Col.). I. Caracteristicas determinantes de su capacidad de captura. *Revue D'Écologie et de Biologie du Sol*, **25**:77-100.

LOCKET, G. H. & A. F. MILLIDGE 1951-1953. *British spiders*. Ray Society, London. **Vol. I** (1951): 1-310 pp.; **Vol. II** (1953): 1-449 pp.

LOCKET, G. H., A. F. MILLIDGE & P. MERRETT 1974. *British Spiders.* Ray Society, London. **Vol. III**: 315 pp.

LUGETTI, G. & P. TONGIORGI 1969. Ricerche sul genere *Alopecosa* Simon (Araneae-Lycosidae). *Atti della Società Toscana di Scienze Naturali*, **B76**: 1-100.

LUIS DE LA IGLESIA, J. A. 2020. Primera cita en España de *Nemesia bacelarae* Decae, Cardoso & Selden, 2007 (Araneae, Nemesiidae). *Revista Ibérica de Aracnología*, **36**: 91-96.*

MUSTER, C. & K. THALER 2004. New species and records of Mediterranean Philodromidae (Arachnida, Araneae): I. *Philodromus aureolus* group. In Thaler, K. (ed.), Diversität und Biologie von Webspinnen, Skorpionen und anderen Spinnentieren. *Denisia*, **12**: 305-326.

NENTWIG, W., T. BLICK, R. BOSMANS, D. GLOOR, A. HÄNGGI & C. KROPF 2023. *Araneae*. Version 04.2022. Online at https://www.araneae.nmbe.ch, (accessed on 2023/01/12).

PERIS-FELIPO, F. J., J. V. FALCÓ-GARÍ & R. JIMENEZ-PEYDRÓ 2011. The diversity of Cerambycidae in the protected Mediterranean landscape of the Natural Park of Carrascal de La Font Roja, Spain. *Bulletin of Insectology*, **64**(1): 87-92.

PERTEGAL, C. & R. MOLERO-BALTANÁS 2022. Description of a new trapdoor spider species, *Nemesia amicitia* spec. nov., from southern Spain, and new information on *Nemesia uncinata* (Araneae: Mygalomorphae: Nemesiidae). *Arachnologische Mitteilungen*, **64**: 1-13.

PERTEGAL, C., I. S. GARCÍA, R. MOLERO-BALTANÁS & S. KNAPP 2022. Description of a new trapdoor spider species from southern Spain that exhibits an as yet unknown defence strategy (Araneae: Mygalomorphae: Nemesiidae). *Bonn zoological Bulletin*, **71**(2): 109-118.

RIBA, O. *ET AL*. 1980. *Geografia física dels Països Catalans*. Ketres Editorial. Barcelona: 226 pàgs.

RICO-GUZMÁN, E., B. TERRONES-CONTRERAS, J. L. CANTÓ-CORCHADO & A. BONET 2012. Frugivore carnivores: preferences and contribution to seed dispersal of red fox *Vulpes vulpes* (Linnaeus, 1758) and stone marten *Martes foina* (Erxleben, 1777) in Carrascal de la Font Roja Natural Park (Alicante, Spain). *Galemys*, **24**: 25-33.

RIVAS-MARTÍNEZ, S. 1981. Les étages bioclimatiques de la végétation de la Péninsule Ibérique. In *Anales del Jardín Botánico de Madrid* (Vol. **37**, No. 2, pp. 251-268). Real Jardín Botánico.

ROBERTS, M. J. 1985-87. *The spiders of Great Britain and Ireland,* Volume 1: Atypidae-Theridiosomatidae, 229 pp. Volume 2: Linyphiidae, 204 pp. Volume 3: Colour Plates, 256 pp. Harley Books, Colchester, England.

ROBERTS, M. J. 1995. *Collins Field Guide: Spiders of Britain & Northern Europe*. HarperCollins, London, 383 pp.

SIMON, E. 1914-37. *Les arachnides de France*. *Synopsis générale et catalogue des espèces françaises de l'ordre des Araneae.* Tome VI. Roret Paris, 1298 pp.

SERRA, L. & J. X. SOLER 2011. *Flora del parc natural de la Font Roja*. CAM. Alcoi. Lluís Serra Laliga ed., 596 pp.

SCHWENDINGER, P. J. 1990. A synopsis of the genus *Atypus* (Araneae, Atypidae). *Zoologica Scripta*, **19**(3): 353-366.

VERDÚ, J.R., M.B. CRESPO & E. GALANTE 2000. Conservation strategy of a nature reserve in Mediterranean ecosystems: the effects of protection from grazing on biodiversity. *Biodiversity and Conservation*, **9**: 1707–1721. https://doi.org/10.1023/A:1026506725251

WORLD SPIDER CATALOG 2023. Version 23.0. Natural History Museum Bern, online at http://wsc.nmbe.ch. (accessed on 2023/03/29).

WUNDERLICH, J. 2015. Descriptions of two Gnaphosidae (Araneae) from Portugal: *Phaeocedus mikha* Levy 2009 new to Europe, and *Gnaphosa monteserra* n. sp. *Beiträge zur Araneologie*, **9**: 446-449.

ZAMORA, J., J. R. VERDÚ & E. GALANTE 2007. Species richness in Mediterranean agroecosystems: Spatial and temporal analysis for biodiversity conservation. *Biological conservation*, **134**(1): 113-121.

ZONSTEIN, S. L. 2017. Notes on *Nemesia* and *Iberesia* in the J. Murphy spider collection of the Manchester Museum (Araneae: Nemesiidae). *Israel Journal of Entomology*, **47**: 141-158.

ZONSTEIN, S. L. 2019. New data on the spider genus *Nemesia* in Algeria (Araneae: Nemesiidae). *Israel Journal of Entomology*, **49**(1): 69-130.

* Referencia disponible en www.sea-entomologia.org

Anexo A. Taxones representados en el estudio, ordenados alfabéticamente por familias, géneros y especies, indicando el número de ejemplares capturados (♂♂: machos. ♀♀: hembras. **jj**: juveniles. **Total**: total de individuos), zona del muestreo y su valor faunístico (**AL**: primera cita para la provincia de Alicante; **CV**: primera cita para la Comunidad Valenciana; **PI**: primera cita para la Península Ibérica; **E**: endemismo). **Annex A**. Taxa represented in the study, ordered by families, genera and species, indicating the number of individuals (♂♂: males. ♀♀: females. **jj**: juvenils. **Total**: total individuals), sampling zone and their faunal value (**AL**: first appointment for Alicante province; **CV**: first appointment for the Valencian Community; **PI**: first appointment for the Iberian Peninsula; **E**.: endemism).

Taxa	P.N. Font Roja Pitfalls			Total	Zona	Novedad faunística			E
	♂♂	♀♀	jj			AL	CV	P I	
AGELENIDAE C. L. Koch, 1837	**13**	**4**	**4**	**21**					
Agelescape Levy, 1996									
Agelescape livida (Simon, 1875)	1			1	--	●	●		
Eratigena Bolzern, Burckhardt & Hänggi, 2013									
Eratigena atrica (C. L. Koch, 1843)	1			1	4				
Eratigena feminea (Simon, 1870)	5			5	1, 2	●	●		
Eratigena fuesslini (Pavesi, 1873)		1		1	1				
Eratigena picta (Simon, 1870)Corral, 2013)	5	1	3	9	1, 3, 4				
Eratigena serrana (Barrientos & Sánchez-C., 2013)	1	2		3	2, 3, 4				●
jj. indet.			1	1	2				
AMAUROBIIDAE Thorell, 1870	**7**			**7**					
Amaurobius C. L. Koch, 1837									
Amaurobius minorca Barrientos & Febrer, 2018	7			7	1, 2, 3				●
ARANEIDAE Clerck, 1757	**1**		**1**	**2**					

Taxa	P.N.	Font	Roja	Total	Zona	Novedad faunística			E
Mangora O. P.-Cambridge, 1889									
Mangora acalypha (Walckenaer, 1802)			1	1	4				
Zygiella F. O. P.-Cambridge, 1902									
Zygiella x-notata (Clerck, 1757)	1			1	2				
ATYPIDAE Thorell, 1870	**2**			**2**					
Atypus Latreille, 1804									
Atypus affinis Eichwald, 1830	2			2	1, 3				
CHEIRACANTHIDAE Wagner, 1887			**3**	**3**					
Cheiracanthium C. L. Koch, 1839									
Cheiracanthium sp.			3	3	1, 2, 3				
CLUBIONIDAE Wagner, 1887			**1**	**1**					
Clubiona Latreille, 1804									
Clubiona sp.			1	1	2				
CORINNIDAE Karsch, 1880	**5**	**3**		**8**					
Castianeira Keyserling, 1879									
Castianeira badia (Simon, 1877)	5	3		8	1, 2, 3, 4	●	●		●
DYSDERIDAE C. L. Koch, 1837	**4**	**11**	**5**	**20**					
Dysdera Latreille, 1804									
Dysdera valentina Ribera, 2004	1	1		2	1				●
Harpactea Bristowe, 1939									
Harpactea blasi Ribera & Ferrández, 1986	1	1		2	1, 3				●
Parachtes Alicata, 1964									
Parachtes loboi Jiménez-Valverde et al., 2006	2	9	5	16	1, 2, 3, 4				●
GNAPHOSIDAE Banks, 1892	**62**	**35**	**81**	**178**					
Callilepis Westring, 1874									
Callilepis concolor Simon, 1914	23	15	3	41	1, 2, 3, 4				
Drassodes Westring, 1851									
Drassodes difficilis (Simon, 1878)		3		3	1, 2				
Drassodes luteomicans (Simon, 1878)	4			4	3, 4				
Drassodes sp.			35	35	1, 2, 3, 4				
Drassodex Murphy, 2007									
Drassodex fritillifer (Simon, 1914)	1	3		4	2, 3, 4				
Haplodrassus Chamberlin, 1922									
Haplodrassus minor (O. P.-Cambridge, 1879)	3		1	4	2, 3	●	●		
Leptodrassus Simon, 1878									
Leptodrassus femineus (Simon, 1873)		1		1	4				
Nomisia Dalmas, 1921									
Nomisia sp.			3	3	2, 4				
Phaeocedus Simon, 1893									
Phaeocedus braccatus (L. Koch, 1866)		1		1	1	●	●		
Pterotricha Kulczynski, 1903									
Pterotricha simoni Dalmas, 1921			2	2	3, 4				●
***Scotophaeus* Simon, 1893**									
Scotophaeus dolanskyi Lisner, 2017		1		1	3	●	●		●
Zelotes Gistel, 1848									
Zelotes egregioides Senglet, 2011	20	11	3	34	1, 2, 3, 4				
Zelotes fulvopilosus (Simon, 1878)	1			1	--				
Zelotes pediculatoides Senglet, 2011	8			8	1, 2, 3, 4				●
Zelotes tenuis (L. Koch, 1866)	2		1	3	4				
Zelotes sp.				19	1, 2, 3, 4				
jj. indet.				14	1, 2, 3, 4				
HAHNIIDAE Bertkau, 1878	**1**			**1**					
Hahnia C. L. Koch, 1841									
Hahnia nava (Blackwall, 1841)	1			1	2	●	●		
LINYPHIIDAE Blackwall, 1859	**61**	**35**	**8**	**104**					
Agyneta Hull, 1911									
Agyneta rurestris (C. L. Koch, 1836)	1	1	3	5	1, 2, 3	●			
Bolyphantes C. L. Koch, 1837									
Bolyphantes nigropictus Simon, 1884	2			2	2	●	●		
Canariphantes Wunderlich, 1992									
Canariphantes tenerrimus (Simon, 1929)		1	1	2	2, 4				
Centromerus Dahl, 1886									
Centromerus albidus Simon, 1929	1			1	3				

Taxa	P.N. Font Roja			Total	Zona	Novedad faunística			E
Gonatium Menge, 1868									
Gonatium rubens (Blackwall, 1833)	8	6		14	1, 3, 4				
Improphantes Saaristo & Tanasevitch, 1996									
Improphantes decolor (Westring, 1861)	2			2	2	●	●		
Linyphia Latreille, 1804									
Linyphia tenuipalpis Simon, 1884	3	4	2	9	1, 2, 3				
Megalepthyphantes Wunderlich, 1994									
Megalepthyphantes collinus (L. Koch, 1872)	4			4	3	●	●		
Ostearius Hull, 1911									
Ostearius melanopygius (O. P.-Cambridge, 1880)	1			1	2				
Ouedia Bosmans & Abrous, 1992									
Ouedia rufithorax (Simon, 1881)	1	2		3	1, 4				
Parapelecopsis Wunderlich, 1992									
Parapelecopsis nemoralis (Blackwall, 1841)	1	2		3	3, 4				
Pelecopsis Simon, 1864									
Pelecopsis bucephala (O. P.-Cambridge, 1875)		1		1	4				
Sintula Simon, 1884									
Sintula diceros Simon, 1926	7	1		8	1, 3, 4				
Tapinocyba Simon, 1884									
Tapinocyba algirica Bosmans, 2007	1			1	3	●	●		
Tenuiphantes Saaristo & Tanasevitch, 1996									
Tenuiphantes flavipes (Blackwall, 1854)	8	1		9	1, 2, 3				
Typhochrestus Simon, 1884									
Typhochrestus bogarti Bosmans, 1990	**3**			3	1, 3, 4				
Walckenaeria Blackwall, 1833									
Walckenaeria dalmasi (Simon, 1915)	2			2	1, 2	●	●		
Walckenaeria monoceros (Wider, 1834)	16	16		32	1, 2, 3, 4	●			
jj. indet.				2	2, 3				
LIOCRANIDAE Simon, 1897	**54**	**10**	**1**	**65**					
Agroeca Westring, 1861									
Agroeca inopina O. Pickard-Cambridge, 1886	4	1		5	3, 4				
Agroeca istia de Biurrun & Barrientos, 2021	17	5		22	1, 2, 3, 4				●
Cybaeodes Simon, 1878									
Cybaeodes dosaguas Ribera & De Mas, 2015	4			4	3, 4				●
Liocranoeca Wunderlich, 1999									
Liocranoeca alcoiana sp. nov.	7	1		8	3	●	●	●	●
Mesiotelus Simon, 1897									
Mesiotelus mauritanicus Simon, 1909	3			3	3, 4	●	●		
Scotina Menge, 1873									
Scotina celans (Blackwall, 1841)	19	3		22	1, 2, 3				
jj. indet.			1	1	1				
LYCOSIDAE Sundevall, 1833	**30**	**9**	**27**	**66**					
Alopecosa Simon, 1885									
Alopecosa aculeata (Clerck, 1757)	19	6	9	34	1, 2, 3	●	●	●	
Alopecosa simoni (Thorell, 1872)	5	1	3	9	1, 2, 3	●	●		
Hogna Simon, 1885									
Hogna radiata (Latreille, 1817)	6	2	4	12	2, 3				
jj. indet.			11	11	2, 3, 4				
MIMETIDAE Simon, 1881			**1**	**1**					
Ero C. L. Koch, 1836									
Ero sp.			1	1	3				
NEMESIIDAE Simon, 1889	**38**		**6**	**44**					
Amblyocarenum Simon, 1892									
Amblyocarenum walckenaeri (Lucas, 1846)	3			3	2, 4				
Iberesia Decae & Cardoso, 2006									
Iberesia brauni (L. Koch, 1882)	2			2	3				●
Nemesia Audouin, 1826									
Nemesia aff. *dubia* O. P.-Cambridge, 1874	19			19	1, 2, 3, 4				
Nemesia aff. *qarthadasht* Calvo, 2021	6		1	7	3, 4				●
Nemesia aff. *valenciae* Kraus, 1955	8			8	2				●
Nemesia sp.			5	5	1, 2, 3, 4				
OONOPIDAE Simon, 1890	**1**			**1**					
Oonops Templeton, 1835									

Taxa	P.N. Font Roja			Total	Zona	Novedad faunística			E
Oonops tubulatus Dalmas, 1916	1			1	3				
OXYOPIDAE Thorell, 1869			**11**	**11**					
Oxyopes Latreille, 1804									
Oxyopes sp.			11	11	1, 2, 3, 4				
PALPIMANIDAE Thorell, 1870	**1**		**2**	**3**					
Palpimanus Dufour, 1820									
Palpimanus gibbulus Dufour, 1820	1		2	3	3, 4				
PHILODROMIDAE Thorell, 1870		**1**	**2**	**3**					
Philodromus Walckenaer, 1826									
Philodromus fuscolimbatus Lucas, 1846		1	1	2	2, 3	•	•		
jj. indet.			1	1	1				
PHRUROLITHIDAE Banks, 1892			**1**	**1**					
Phrurolithus C. L. Koch, 1839				**9**					
Phrurolithus sp.			1	1	1				
PISAURIDAE Simon, 1890			**2**	**2**					
Pisaura Simon, 1886				**20**					
Pisaura mirabilis (Clerck, 1757)			2	2	2, 3				
SALTICIDAE Blackwall, 1841	**40**	**9**	**90**	**139**					
Aelurillus Simon, 1885									
Aelurillus luctuosus (Lucas, 1846)	27	7	82	116	1, 2, 3, 4				
Ballus C. L. Koch, 1850									
Ballus chalybeius (Walckenaer, 1802)	1			1	3				
Euophrys C. L. Koch, 1834									
Euophrys frontalis (Walckenaer, 1802)	1			1	3				
Evarcha Simon, 1902									
Evarcha jucunda (Lucas, 1846)		1		1	4				
Heliophanus C. L. Koch, 1833									
Heliophanus flavipes (Hahn, 1832)		1	1	2	1, 2	•	•		
Iberattus Prószyński, 2018									
Iberattus semiglabratus (Simon, 1868)			1	1	3				
Icius Simon, 1876									
Icius hamatus (C. L. Koch, 1846)	1		2	3	1, 2				
Phlegra Simon, 1876									
Phlegra sierrana (Simon, 1868)	9		4	13	1, 2, 3, 4	•	•		
Thyene Simon, 1885									
Thyene imperialis (Rossi, 1846)	1			1	2				
SPARASSIDAE Bertkau, 1872			**1**	**1**					
Eusparassus Simon, 1903									
Eusparassus levantinus Urones, 2006			1	1	1				•
THERIDIIDAE Sundevall, 1833	**2**	**1**	**5**	**8**					
Enoplognatha Pavesi, 1880									
Enoplognatha franzi Wunderlich, 1995	1			1	3				
Episinus Walckenaer, 1809									
Episinus maculipes Cavanna, 1876		1		1	4	•	•		
Latrodectus Walckenaer, 1805									
Latrodectus tredecimguttatus (Rossi, 1790)	1			1	3	•	•		
Theridion Walckenaer, 1805									
Theridion sp.			2	2	1, 3				
jj. indet.			3	3	1, 3				
THOMISIDAE Sundevall, 1833			**11**	**11**					
(jj. indet.)			11	11	1, 2, 4				
ULOBORIDAE Thorell, 1869		**1**		**1**					
Uloborus Latreille, 1806									
Uloborus walckenaerius Latreille, 1806		1		1	2				
ZODARIIDAE Thorell, 1881	**14**	**28**	**36**	**78**					
Amphiledorus Jocqué & Bosmans, 2001									
Amphiledorus balnearius Jocqué & Bosmans, 2001	4	3	7	14	1, 2, 3, 4				
Zodarion Walckenaer, 1826									
Zodarion costablancae Bosmans, 1994	10	25	26	61	1, 2, 3, 4				•
jj. indet.			3	3	2, 3				
TOTAL	**336**	**147**	**299**	**782**		**23**	**21**	**2**	**17**

Anexo B. Relación de muestras estudiadas de cada taxón, ordenados alfabéticamente por familias, géneros y especies; para cada especie se indica el número de ejemplares de cada muestra, fecha de captura, coordenadas y altitud. Todas las muestras son del P.N. de la Font Roja, Alcoi (Alicante) y están recogidas por Juan P. García-Teba mediante trampas de caída. **Annex B**. Studied samples of each taxon, arranged alphabetically by families, genera and species; for each species, the number of specimens of each sample, date of capture, coordinates and altitude are indicated. All samples are from P.N. of Font Roja, Alcoi (Alicante) and have been collected by Juan P. García-Teba using pitfall traps.

Familia Agelenidae C. L. Koch, 1837

***Agelescape livida* (Simon, 1875)**. 1♂, 04/07/ al 01/08/2020, P.N. de la Font Roja, Alcoi, (Alicante).

***Eratigena atrica* (C. L. Koch, 1843)**. 1♂, 17/10/2020, 30S YH 13758154, 1223 msnm.

***Eratigena feminea* (Simon, 1870).** 1♂, 14/11/2020, 30S YH 12158157, 1219 msnm. 4 ♂♂, 1j, 01/11/2020, 30S YH 12888166, 1294 msnm.

***Eratigena fuesslini* (Pavesi, 1873)**. 1♀, 18/07/2020, 30S YH 12158157, 1219 msnm.

***Eratigena picta* (Simon, 1870)**. 2♂♂, 1♀, 07/03/2020, 30S YH 13758154, 1223 msnm. 2♂♂, 07/03/2020, 30S YH 13748182, 1304 msnm. 2jj, 19/09/2020, 30S YH 13758154, 1223 msnm. 1j, 06/02/2021, 30S YH 12158157, 1219 msnm. 1♂, 20/02/2021, 30S YH 13758154, 1223 msnm.

***Eratigena serrana* (Barrientos & Sánchez-Corral, 2013)**. 1♂, 01/08/2020, 30S YH 13748182, 1304 msnm. 1♀, 19/09/2020, 30S YH 13758154, 1223 msnm. 1♀, 17/10/2020, 30S YH 12888166, 1294 msnm.

***Eratigena* sp. (jj. indet.)**. 1j, 19/12/2020, 30S YH 12888166, 1294 msnm.

Familia Amaurobiidae Thorell, 1870

***Amaurobius minorca* Barrientos & Febrer, 2018**. 2♂♂, 07/03/2020, 30S YH 13748182, 1304 msnm (Col. J. A. Barrientos). 1♂, 03/10/2020, 30S YH 12888166, 1294 msnm. 1♂, 01/11/2020, 30S YH 12158157, 1219 msnm. 2♂♂, 14/11/2020, 30S YH 12888166, 1294 msnm. 1♂, 05/12/2020, 30S YH 12158157, 1219 msnm.

Familia Araneidae Clerck, 1757

***Mangora acalypha* (Walckenaer, 1802)**. 1j, 19/09/2020, 30S YH 13758154, 1223 msnm.

***Zygiella x-notata* (Clerck, 1757)**. 1♂, 05/09/2020, 30S YH 12888166, 1294 msnm.

Familia Atypidae Thorell, 1870

***Atypus affinis* Eichwald, 1830**. 1♂, 01/11/2020, 30S YH 13748182, 1304 msnm (Col. J. A. Barrientos). 1♂, 05/12/2020, 30S YH 12158157, 1219 msnm.

Familia Cheiracanthiidae Wagner, 1887

***Cheiracanthium* sp. (jj. indet.)**. 1j, 05/09/2020, 30S YH 12158157, 1219 msnm. 1j, 17/10/2020, 30S YH 12888166, 1294 msnm. 1j, 01/11/2020, 30S YH 13748182, 1304 msnm.

Familia Clubionidae Wagner, 1887

***Clubiona* sp. (jj. indet.)**. 1j, 01/11/2020, 30S YH 12888166, 1294 msnm.

Familia Corinnidae Karsch, 1880

***Castianeira badia* (Simon, 1877)**. 1♂, 18/07/2020, 30S YH 12888166, 1294 msnm (Col. J. A. Barrientos). 1♂, 01/08/2020, 30S YH 12888166, 1294 msnm. 1♂, 01/08/2020, 30S YH 13758154, 1223 msnm. 1♂, 01/08/2020, 30S YH 13748182, 1304 msnm. 1♀, 23/08/2020, 30S YH 12158157, 1219 msnm. 1♂, 05/09/2020, 30S YH 13748182, 1304 msnm. 1♀, 05/09/2020, 30S YH 12888166, 1292 msnm (Col. J. A. Barrientos). 1♀, 03/10/2020, 30S YH 13748182, 1304 msnm.

Familia Dysderidae C. L. Koch, 1837

***Dysdera valentina* Ribera, 2004**. 1♀, 07/03/2020, 30S YH 12158157, 1219 msnm. 1♂, 20/06/2020 (Col. J. A. Barrientos).

***Harpactea blasi* Ribera & Ferrández, 1986**. 1♀, 07/03/2020, 30S YH 12158157, 1219 msnm. 1♂, 05/12/2020, 30S YH 13748182, 1304 msnm.

***Parachtes loboi* Jiménez-Valverde, Barriga & Moreno, 2006.** 1j, 07/03/2020, 30S YH 12888166, 1294 msnm. 1j, 07/03/2020, 30S YH 12158157, 1219 msnm. 1♀, 07/03/2020, 30S YH 13748182, 1304 msnm. 1♀, 01/08/2020, 30S YH 13748182, 1304 msnm. 1♀, 05/09/2020, 30S YH 12158157, 1219 msnm. 1♀, 19/09/2020, 30S YH 12888166, 1294 msnm. 1j, 03/10/2020, 30S YH 13758154, 1223 msnm. 1♀, 01/11/2020, 30S YH 13748182, 1304 msnm. 1♀, 14/11/2020, 30S YH 13748182, 1304 msnm. 1j, 05/12/2020, 30S YH 13748182, 1304 msnm. 1♀, 05/12/2020, 30S YH 12888166, 1294 msnm. 1j, 19/12/2020, 30S YH 12888166, 1294 msnm. 1♂, 23/01/2021, 30S YH 13748182, 1304 msnm. 1♀, 06/02/2021, 30S YH 13748182, 1304 msnm. 1♂, 20/02/2021, 30S YH 13748182, 1304 msnm. 1♀, 20/02/2021, 30S YH 12158157, 1219 msnm.

Familia Gnaphosidae Pocock, 1898

***Callilepis concolor* Simon, 1914**. 2♂♂, 1♀, 18/07/2020, 30S YH 12158157, 1219 msnm. 2♂♂, 1j, 18/07/2020, 30S YH 13748182, 1304 msnm. 9♂♂, 1♀, 18/07/2020, 30S YH 13758154, 1223 msnm.7♂♂, 5♀♀, 18/07/2020, 30S YH 12888166, 1294 msnm. 1♂, 01/08/2020, 30S YH 13758154, 1223 msnm. 4♀♀, 01/08/2020, 30S YH 13748182, 1304 msnm. 2♂♂, 01/08/2020, 30S YH 12888166, 1294 msnm. 2♀♀, 1j, 23/08/2020, 30S YH 12888166, 1294 msnm. 1♀, 05/09/2020, 30S YH 12158157, 1219 msnm. 1♀, 19/09/2020, 30S YH 13748182, 1304 msnm. 1j, 14/11/2020, 30S YH 12158157, 1219 msnm.

***Drassodes difficilis* (Simon, 1878)**. 1♀, 18/07/2020, 30S YH 12888166, 1294 msnm (Col. J. A. Barrientos). 1♀, 01/08/2020, 30S YH 12888166, 1294 msnm. 1♀, 01/08/2020, 30S YH 12158157, 1219 msnm.

***Drassodes luteomicans* (Simon, 1878)**. 1♂, 17/10/2020, 30S YH 13758154, 1223 msnm. 1♂, 01/11/2020, 30S YH 13758154, 1223 msnm. 1♂, 01/11/2020, 30S YH 13748182, 1304 msnm. 1♂, 14/11/2020, 30S YH 13758154, 1223 msnm.

***Drassodes* sp. (jj. indet.)**. 1j, 07/03/2020, 30S YH 12888166, 1294 msnm. 2jj, 18/07/2020, 30S YH 12888166, 1294 msnm. 1j, 18/07/2020, 30S YH 13748182, 1304 msnm. 1j, 01/08/2020, 30S YH 12158157, 1219 msnm. 5jj, 01/08/2020, 30S YH 13748182, 1304 msnm. 1j, 01/08/2020, 30S YH 13758154, 1223 msnm. 1j, 23/08/2020, 30S YH 12158157, 1219 msnm. 1j, 23/08/2020, 30S YH 12888166, 1294 msnm. 1j, 23/08/2020, 30S YH 13758154, 1223 msnm. 1j, 23/08/2020, 30S YH 13748182, 1304 msnm. 2jj, 19/09/2020, 30S YH 13748182, 1304 msnm. 2jj, 19/09/2020, 30S YH 13758154, 1223 msnm. 1j, 03/10/2020, 30S YH 12158157, 1219 msnm. 1j, 03/10/2020, 30S YH 13748182, 1304 msnm. 1j, 17/10/2020, 30S YH 13748182, 1304 msnm. 1j, 01/11/2020, 30S YH 13748182, 1304 msnm. 1j, 01/11/2020, 30S YH 12158157, 1219 msnm. 3jj, 05/12/2020, 30S YH 13748182, 1304 msnm. 1j, 19/12/2020, 30S YH 12158157, 1219 msnm. 2jj, 23/01/2021, 30S YH 13748182, 1304 msnm. 1j, 06/02/2021, 30S YH 13748182, 1304 msnm. 1j, 20/02/2021, 30S YH 12158157, 1219 msnm. 1j, 20/02/2021, 30S YH 12888166, 1294 msnm. 2jj, 20/02/2021, 30S YH 13748182, 1304 msnm.

***Drassodex fritillifer* (Simon, 1914)**. 1♀, 01/11/2020, 30S YH 13758154, 1223 msnm. 1♀, 14/11/2020, 30S YH 13758154, 1223 msnm. 1♂, 14/11/2020, 30S YH 13748182, 1304 msnm. 1♀, 23/01/2021, 30S YH 12888166, 1294 msnm.

***Haplodrassus minor* (O. P.-Cambridge, 1879).** 1j, 01/08/2020, 30S YH 12888166, 1294 msnm. 2♂♂, 01/11/2020, 30S YH 13748182, 1304 msnm. 1♂, 19/12/2020, 30S YH 13748182, 1304 msnm (Col. J. A. Barrientos).

***Leptodrassus femineus* (Simon, 1873)**. 1♀, 01/08/2020, 30S YH 13758154, 1223 msnm.

***Nomisia* sp. (jj. indet.)**. 2jj, 07/03/2020, 30S YH 12888166, 1294 msnm. 1j, 01/08/2020, 30S YH 13758154, 1223 msnm.

***Phaeocedus braccatus* (L. Koch, 1866)**. 1♀, 05/09/2020, 30S YH 12158157, 1219 msnm.

***Pterotricha simoni* Dalmas, 1921**. 1j, 07/03/2020, 30S YH 13758154, 1223 msnm. 1j, 07/03/2020, 30S YH 13748182, 1304 msnm.

***Scotophaeus dolanskyi* Lisner, 2017**. 1♀, 19/09/2020, 30S YH 13748182, 1304 msnm..

***Zelotes egregioides* Senglet, 2011**. 1♂, 1j, 01/08/2020, 30S YH 12158157, 1219 msnm. 2♂♂, 01/08/2020, 30S YH 13748182, 1304 msnm. 1♂, 23/08/2020, 30S YH 12158157, 1219 msnm. 2♂♂, 1♀, 23/08/2020, 30S YH 13748182, 1304 msnm. 2♂♂, 23/08/2020, 30S YH 12888166, 1294 msnm. 1♂, 1j, 23/08/2020, 30S YH 13758154, 1223 msnm. 1♂, 05/09/2020, 30S YH 13748182, 1304 msnm. 1♂, 5♀♀, 1j, 05/09/2020, 30S YH 12888166, 1294 msnm. 4♂♂, 05/09/2020, 30S YH 12158157, 1219 msnm. 1♂, 05/09/2020, 30S YH 13758154, 1223 msnm. 1♂, 1♀, 19/09/2020, 30S YH 13758154, 1223 msnm. 1♂, 03/10/2020, 30S YH 12158157, 1219 msnm. 1♂,

03/10/2020, 30S YH 13758154, 1223 msnm. 1♂, 1♀, 03/10/2020, 30S YH 13748182, 1304 msnm. 1♀, 01/11/2020, 30S YH 12888166, 1294 msnm. 1♀, 01/11/2020, 30S YH 12158157, 1219 msnm. 1♀, 01/11/2020, 30S YH 13758154, 1223 msnm.

***Zelotes fulvopilosus* (Simon, 1878)**. 1♂, 20/06/2020.

***Zelotes pediculatoides* Senglet, 2011**. 1♂, 23/08/2020, 30S YH 12158157, 1219 msnm. 1♂, 23/08/2020, 30S YH 13748182, 1304 msnm. 1♂, 05/09/2020, 30S YH 12158157, 1219 msnm. 1♂, 19/09/2020, 30S YH 13758154, 1223 msnm. 1♂, 19/09/2020, 30S YH 13748182, 1304 msnm. 1♂, 19/09/2020, 30S YH 12888166, 1294 msnm. 2♂♂, 03/10/2020, 30S YH 13748182, 1304 msnm.

***Zelotes tenuis* (L. Koch, 1866)**. 2♂♂, 18/07/2020, 30S YH 13758154, 1223 msnm.

***Zelotes* sp. (jj. indet.)**. 1j, 07/03/2020, 30S YH 13748182, 1304 msnm. 3jj, 18/07/2020, 30S YH 12888166, 1294 msnm. 1j, 01/08/2020, 30S YH 12158157, 1219 msnm. 3jj, 01/08/2020, 30S YH 12888166, 1294 msnm. 1j, 23/08/2020, 30S YH 13748182, 1304 msnm. 1j, 23/08/2020, 30S YH 12158157, 1219 msnm. 1j, 05/09/2020, 30S YH 12158157, 1219 msnm. 1j, 19/09/2020, 30S YH 12888166, 1294 msnm. 1j, 03/10/2020, 30S YH 12888166, 1294 msnm. 1j, 23/01/2021, 30S YH 12888166, 1294 msnm. 2jj, 23/01/2021, 30S YH 13758154, 1223 msnm. 2jj, 06/02/2021, 30S YH 13748182, 1304 msnm. 1j, 06/02/2021, 30S YH 12888166, 1294 msnm.

(jj. indet.). 1j, 07/03/2020, 30S YH 13758154, 1223 msnm. 1j♀, 01/08/2020, 30S YH 12158157, 1219 msnm. 1j, 01/08/2020, 30S YH 12888166, 1294 msnm. 1j, 01/08/2020, 30S YH 13748182, 1304 msnm. 3jj, 23/08/2020, 30S YH 13748182, 1304 msnm. 1j, 23/08/2020, 30S YH 12888166, 1294 msnm. 1j, 05/09/2020, 30S YH 13748182, 1304 msnm. 2jj, 05/09/2020, 30S YH 12158157, 1219 msnm. 1j, 05/09/2020, 30S YH 12888166, 1294 msnm. 1j, 17/10/2020, 30S YH 13748182, 1304 msnm. 1j, 14/11/2020, 30S YH 12888166, 1294 msnm.

Familia Hahniidae Bertkau, 1878

***Hahnia nava* (Blackwall, 1841)**. 1♂, 06/02/2020, 30S YH 12888166, 1294 msnm.

Familia Linyphiidae Blackwall, 1859

***Agyneta rurestris* (C. L. Koch, 1836)**. 1♀, 18/07/2020, 30S YH 12888166, 1294 msnm. 1j, 05/09/2020, 30S YH 12158157, 1219 msnm. 1♂, 19/09/2020, 30S YH 12888166, 1294 msnm. 1j, 17/10/2020, 30S YH 12888166, 1294 msnm. 1j, 01/11/2020, 30S YH 13748182, 1304 msnm.

***Bolyphantes nigropictus* Simon, 1884**. 2♂♂, 01/11/2020, 30S YH 12888166, 1294 msnm.

***Canariphantes tenerrimus* (Simon, 1929)**. 1♀, 19/09/2020, 30S YH 13758154, 1223 msnm. 1j, 01/11/2020, 30S YH 12888166, 1294 msnm.

***Centromerus albidus* Simon, 1929**. 1♂, 01/11/2020, 30S YH 13748182, 1304 msnm.

***Gonatium rubens* (Blackwall, 1833)**. 1♀, 03/10/2020, 30S YH 12158157, 1219 msnm. 1♀, 17/10/2020, 30S YH 13758154, 1223 msnm. 1♂, 1♀, 01/11/2020, 30S YH 13758154, 1223 msnm (Col. J. A. Barrientos). 3♂♂, 14/11/2020, 30S YH 13758154, 1223 msnm. 1♂, 05/12/2020, 30S YH 12158157, 1219 msnm. 2♂♂, 05/12/2020, 30S YH 13748182, 1304 msnm. 1♀, 05/12/2020, 30S YH 13758154, 1223 msnm. 1♂, 1♀, 19/12/2020, 30S YH 13758154, 1223 msnm. 1♀, 23/01/2021, 30S YH 13758154, 1223 msnm.

***Improphantes decolor* (Westing, 1861)**. 2♂♂, 17/10/2020, 30S YH 12888166, 1294 msnm(1♂ Col. J. A. Barrientos).

***Linyphia tenuipalpis* Simon, 1884**. 2♂♂, 01/08/2020, 30S YH 12888166, 1294 msnm. 1♂, 1j, 23/08/2020, 30S YH 12158157, 1219 msnm. 1j, 23/08/2020, 30S YH 13748182, 1304 msnm. 2♀♀, 03/10/2020, 30S YH 12888166, 1294 msnm. 1♀, 17/10/2020, 30S YH 12888166, 1294 msnm. 1♀, 01/11/2020, 30S YH 12888166, 1294 msnm.

***Megalepthyphantes collinus* (L. Koch, 1872)**. 1♂, 03/10/2020, 30S YH 13748182, 1304 msnm. 2♂♂, 01/11/2020, 30S YH 13748182, 1304 msnm. 1♂, 20/02/2021, 30S YH 13748182, 1304 msnm (Col. J. A. Barrientos).

***Ostearius melanopygius* (O. P.-Cambridge, 1880)**. 1♂, 05/12/2020, 30S YH 12888166, 1294 msnm.

***Ouedia rufithorax* (Simon, 1881)**. 1♀, 01/11/2020, 30S YH 12158157, 1219 msnm. 1♀, 20/02/2021, 30S YH 12158157, 1219 msnm. 1♂, 20/02/2021, 30S YH 13758154, 1223 msnm.

***Parapelecopsis nemoralis* (Blackwall, 1841)**. 1♂, 23/08/2020, 30S YH 13748182, 1304 msnm. 1♀, 04/01/2021, 30S YH 13748182, 1304 msnm. 1♀, 23/01/2021, 30S YH 13758154, 1223 msnm.

***Pelecopsis bucephala* (O. P.-Cambridge, 1875)**. 1♀, 05/09/2020, 30S YH 13758154, 1223 msnm.

***Sintula diceros* Simon, 1926**. 1♀, 07/03/2020, 30S YH 13748182, 1304 msnm. 2♂♂, 14/11/2020, 30S YH 13758154, 1223 msnm. 2♂♂, 05/12/2020, 30S YH 13748182, 1304 msnm. 1♂, 23/01/2021, 30S YH 13748182, 1304 msnm. 2♂♂, 23/01/2021, 30S YH 12158157, 1219 msnm.

***Tapinocyba algirica* Bosmans, 2007**. 1♂, 05/12/2020, 30S YH 13748182, 1304 msnm.

***Tenuiphantes flavipes* (Blackwall, 1854)**. 5♂♂, 17/10/2020, 30S YH 13748182, 1304 msnm. 1♂, 17/10/2020, 30S YH 12888166, 1294 msnm. 1♂, 01/11/2020, 30S YH 12888166, 1294 msnm. 1♂, 14/11/2020, 30S YH 13748182, 1304 msnm. 1♀, 20/02/2021, 30S YH 12158157, 1219 msnm.

***Typhochrestus bogarti* Bosmans, 1990**. 1♂, 07/03/2020, 30S YH 13758154, 1223 msnm. 1♂, 05/12/2020, 30S YH 13748182, 1304 msnm. 1♂, 06/02/2021, 30S YH 12158157, 1219 msnm.

***Walckenaeria dalmasi* (Simon, 1915)**. 1♂, 06/02/2021, 30S YH 12158157, 1219 msnm. 1♂, 20/02/2021, 30S YH 12888166, 1294 msnm.

***Walckenaeria monoceros* (Wider, 1834)**. 2♂♂, 07/03/2020, 30S YH 12888166, 1294 msnm (Col. J. A. Barrientos). 1♂, 17/10/2020, 30S YH 12158157, 1219 msnm. 1♀, 17/10/2020, 30S YH 12888166, 1294 msnm. 1♂, 01/11/2020, 30S YH 12158157, 1219 msnm. 1♂, 1♀, 01/11/2020, 30S YH 12888166, 1294 msnm. 1♂, 14/11/2020, 30S YH 12888166, 1294 msnm. 1♀, 14/11/2020, 30S YH 13748182, 1304 msnm. 3♂♂, 05/12/2020, 30S YH 13748182, 1304 msnm. 1♂, 1♀, 05/12/2020, 30S YH 12888166, 1294 msnm. 1♀, 05/12/2020, 30S YH 12158157, 1219 msnm. 3♂♂, 19/12/2020, 30S YH 13748182, 1304 msnm. 1♀, 19/12/2020, 30S YH 12158157, 1219 msnm. 1♂, 04/01/2021, 30S YH 13758154, 1223 msnm. 1♂, 23/01/2021, 30S YH 13748182, 1304 msnm. 1♂, 1♀, 23/01/2021, 30S YH 12158157, 1219 msnm. 1♀, 06/02/2021, 30S YH 12158157, 1219 msnm. 6♀♀, 20/02/2021, 30S YH 12158157, 1219 msnm (2♂♂ Col. J. A. Barrientos). 1♂, 1♀, 20/02/2021, 30S YH 12888166, 1294 msnm.

(jj. indet.). 1j, 05/09/2020, 30S YH 12888166, 1294 msnm. 1j, 17/10/2020, 30S YH 13748182, 1304 msnm.

Familia Liocranidae Simon, 1897

***Agroeca inopina* O. Pickard-Cambridge, 1886**. 1♂, 03/10/2020, 30S YH 13748182, 1304 msnm. 1♂, 01/11/2020, 30S YH 13758154, 1223 msnm. 1♂, 01/11/2020, 30S YH 13748182, 1304 msnm. 1♂, 14/11/2020, 30S YH 13748182, 1304 msnm. 1♀, 23/01/2021, 30S YH 13748182, 1304 msnm.

***Agroeca istia* de Biurrun & Barrientos, 2021**. 2♂♂, 03/10/2020, 30S YH 13748182, 1304 msnm. 1♂, 17/10/2020, 30S YH 13758154, 1223 msnm. 1♂, 01/11/2020, 30S YH 12158157, 1219 msnm. 2♂♂, 01/11/2020, 30S YH 13748182, 1304 msnm (Col. J. A. Barrientos). 1♀, 01/11/2020, 30S YH 12888166, 1294 msnm. 1♂, 14/11/2020, 30S YH 13758154, 1223 msnm. 1♂, 14/11/2020, 30S YH 12158157, 1219 msnm. 1♂, 05/12/2020, 30S YH 12158157, 1219 msnm.2♀♀, 04/01/2021, 30S YH 13748182, 1304 msnm (1♀ Col. J. A. Barrientos). 4♂♂, 1♀, 23/01/2021, 30S YH 13748182, 1304 msnm. 1♂, 23/01/2021, 30S YH 13758154, 1223 msnm. 1♂, 23/01/2021, 30S YH 12158157, 1219 msnm. 1♂, 06/02/2021, 30S YH 12158157, 1219 msnm. 1♀, 06/02/2021, 30S YH 13748182, 1304 msnm. 1♂, 20/02/2021, 30S YH 13748182, 1304 msnm.

***Cybaeodes dosaguas* Ribera & De Mas, 2015**. 1♂, 23/08/2020, 30S YH 13758154, 1223 msnm. 1♂, 05/09/2020, 30S YH 13758154, 1223 msnm. 1♂, 03/10/2020, 30S YH 13748182, 1304 msnm. 1♂, 01/11/2020, 30S YH 13748182, 1304 msnm.

***Liocranoeca alcoiana* Barrientos & Hernández-Corral sp. nov**. 1♂, 05/09/2020, 30S YH 13748182, 1304 msnm (Col. J. A. Barrientos). 1♂, 1♀, 19/09/2020, 30S YH 13748182, 1304 msnm(MNCN). 1♂, 03/10/2020, 30S YH 13748182, 1304 msnm(MNCN). 1♂, 17/10/2020, 30S YH 13748182, 1304 msnm. 2♂♂, 01/11/2020, 30S YH 13748182, 1304 msnm. 1♂, 05/12/2020, 30S YH 13748182, 1304 msnm (Col. J. A. Barrientos).

***Mesiotelus mauritanicus* Simon, 1909**. 1♂, 07/03/2020, 30S YH 13758154, 1223 msnm. 1♂, 07/03/2020, 30S YH 13748182, 1304 msnm (Col. J. A. Barrientos). 1♂, 19/12/2020, 30S YH 13748182, 1304 msnm.

***Scotina celans* (Blackwall, 1841)**. 1♂, 07/03/2020, 30S YH 12158157, 1219 msnm. 2♂♂, 01/11/2020, 30S YH 12888166, 1294 msnm. 2♂♂, 01/11/2020, 30S YH 13748182, 1304 msnm. 1♂, 01/11/2020, 30S YH 12158157, 1219 msnm. 1♂, 14/11/2020, 30S YH 12158157, 1219 msnm. 1♂, 05/12/2020, 30S YH 13748182, 1304 msnm. 2♂♂, 05/12/2020, 30S YH 12888166, 1294 msnm. 2♂♂, 19/12/2020, 30S YH 13748182, 1304 msnm. 1♂, 19/12/2020, 30S YH

12888166, 1294 msnm. 1♂, 04/01/2021, 30S YH 13748182, 1304 msnm. 1♂, 23/01/2021, 30S YH 13748182, 1304 msnm. 2♂♂, 1♀, 23/01/2021, 30S YH 12888166, 1294 msnm. 1♂, 06/02/2021, 30S YH 13748182, 1304 msnm. 2♀♀, 06/02/2021, 30S YH 12158157, 1219 msnm. 1♂, 20/02/2021, 30S YH 12158157, 1219 msnm.
(jj. indet.). 1j, 23/08/2020, 30S YH 12158157, 1219 msnm.

Familia Lycosidae Sundevall, 1833

***Alopecosa aculeata* (Clerck, 1757)**. 2♂♂, 07/03/2020, 30S YH 12888166, 1294 msnm. 3jj, 07/03/2020, 30S YH 12158157, 1219 msnm. 1j, 01/08/2020, 30S YH 13748182, 1304 msnm. 1j, 01/08/2020, 30S YH 12158157, 1219 msnm. 1♀, 23/08/2020, 30S YH 12888166, 1294 msnm (Col. J. A. Barrientos). 1♀, 05/09/2020, 30S YH 12888166, 1294 msnm. 1♂, 1♀, 19/09/2020, 30S YH 12158157, 1219 msnm. 1j, 19/09/2020, 30S YH 13748182, 1304 msnm. 1♀, 2jj, 19/09/2020, 30S YH 12888166, 1294 msnm. 3♂♂, 1♀, 03/10/2020, 30S YH 13748182, 1304 msnm. 1♂, 1j, 03/10/2020, 30S YH 12888166, 1294 msnm. 4♂♂, 03/10/2020, 30S YH 12158157, 1219 msnm. 1♀, 17/10/2020, 30S YH 13748182, 1304 msnm (Col. J. A. Barrientos). 5♂♂, 17/10/2020, 30S YH 12888166, 1294 msnm (3♂♂ Col. J. A. Barrientos). 2♂♂, 20/02/2021, 30S YH 12888166, 1294 msnm. 1♂, 20/02/2021, 30S YH 12158157, 1219 msnm.
***Alopecosa simoni* (Thorell, 1872)**. 1j, 07/03/2020, 30S YH 12888166, 1294 msnm. 2♂♂, 1♀, 07/03/2020, 30S YH 13748182, 1304 msnm. 1j, 23/08/2020, 30S YH 13748182, 1304 msnm. 3♂♂, 23/01/2021, 30S YH 13748182, 1304 msnm. 1j, 06/02/2021, 30S YH 12158157, 1219 msnm.
***Hogna radiata* (Latreille, 1817)**. 4jj, 20/06/2020. 1♂, 1♀, 18/07/2020, 30S YH 13748182, 1304 msnm. 1♂, 01/08/2020, 30S YH 12888166, 1294 msnm. 4♂♂, 01/08/2020. 1♀, 03/10/2020, 30S YH 13748182, 1304 msnm.
(jj. indet.). 2jj, 18/07/2020, 30S YH 12888166, 1294 msnm. 1j, 18/07/2020, 30S YH 13748182, 1304 msnm. 1j, 23/08/2020, 30S YH 12888166, 1294 msnm. 2jj, 19/09/2020, 30S YH 12888166, 1294 msnm. 3jj, 17/10/2020, 30S YH 13758154, 1223 msnm. 1j, 01/11/2020, 30S YH 13748182, 1304 msnm. 1j, 19/12/2020, 30S YH 13758154, 1223 msnm.

Familia Mimetidae Simon, 1881

***Ero* sp. (jj. indet.)**. 1j, 05/12/2020, 30S YH 13748182, 1304 msnm.

Familia Nemesiidae Simon, 1889

***Amblyocarenum walckenaeri* (Lucas, 1846)**. 1♂, 20/06/2020. 1♂, 18/07/2020, 30S YH 13758154, 1223 msnm. 1♂, 18/07/2020, 30S YH 12888166, 1294 msnm (Col. J. A. Barrientos).
***Iberesia brauni* (L. Koch, 1882)**. 2♂♂, 01/08/2020, 30S YH 13748182, 1304 msnm (1♂ Col. J. A. Barrientos).
***Nemesia* aff. dubia O. P.-Cambridge, 1874.** 3♂♂, 01/08/2020, 30S YH 12158157, 1219 msnm. 2♂♂, 01/08/2020, 30S YH 12888166, 1294 msnm (2♂♂ Col. J. A. Barrientos). 2♂♂, 05/09/2020, 30S YH 13758154, 1223 msnm. 4♂♂, 19/09/2020, 30S YH 13758154, 1223 msnm. 1♂, 03/10/2020, 30S YH 13758154, 1223 msnm. 2♂♂, 17/10/2020, 30S YH 13758154, 1223 msnm. 2♂♂, 01/08/2020, 30S YH 13748182, 1304 msnm. 1♂, 17/10/2020, 30S YH 13748182, 1304 msnm. 2♂♂, 18/07/2020, 30S YH 13758154, 1223 msnm.
***Nemesia* aff. *qarthadasht* Calvo, 2021.** 1♂, 18/07/2020, 30S YH 13748182, 1304 msnm. 2♂♂, 01/08/2020, 30S YH 13748182, 1304 msnm. 2♂♂, 1j, 01/08/2020, 30S YH 13758154, 1223 msnm (2♂♂ Col. J. A. Barrientos). 1♂, 23/08/2020, 30S YH 13758154, 1223 msnm.
***Nemesia* aff. *valenciae* Kraus, 1955.** 6♂♂, 01/08/2020, 30S YH 12888166, 1294 msnm (2♂♂ Col. J. A. Barrientos). 1♂, 23/08/2020, 30S YH 12888166, 1294 msnm. 1♂, 05/09/2020, 30S YH 12888166, 1294 msnm.
***Nemesia* sp. (jj. indet.)**. 1j, 05/12/2020, 30S YH 12158157, 1219 msnm. 1j, 23/01/2021, 30S YH 12888166, 1294 msnm. 1j, 01/08/2020, 30S YH 13748182, 1304 msnm. 2jj, 17/10/2020, 30S YH 13758154, 1223 msnm.

Familia Oonopidae Simon, 1890

***Oonops tubulatus* Dalmas, 1916**. 1♂, 17/10/2020, 30S YH 13748182, 1304 msnm (Col. J. A. Barrientos).

Familia Oxyopidae Thorell, 1870

***Oxyopes* sp. (jj. indet.)**. 2jj, 01/08/2020, 30S YH 12888166, 1294 msnm. 2jj, 01/08/2020, 30S YH 12158157, 1219 msnm. 1j, 01/08/2020, 30S YH 13758154, 1223 msnm. 2jj, 23/08/2020, 30S YH 13748182, 1304 msnm. 2jj, 23/08/2020, 30S YH 12888166, 1294 msnm. 1j, 05/09/2020, 30S YH 12158157, 1219 msnm. 1j, 19/09/2020, 30S YH 12888166, 1294 msnm.

Familia Palpimanidae Thorell, 1870

***Palpimanus gibbulus* Dufour, 1820**. 1♂, 01/08/2020. 1j, 23/08/2020, 30S YH 13748182, 1304 msnm. 1j, 19/09/2020, 30S YH 13758154, 1223 msnm.

Familia Philodromidae Thorell, 1870

***Philodromus fuscolimbatus* Lucas, 1864**. 1♀, 18/07/2020, 30S YH 12888166, 1294 msnm. 1j, 05/09/2020, 30S YH 13748182, 1304 msnm.
(jj. indet.). 1j, 23/08/2020, 30S YH 12158157, 1219 msnm.

Familia Phrurolithidae Banks, 1892

***Phrurolithus* sp. (jj. indet.)**. 1j, 06/02/2021, 30S YH 12158157, 1219 msnm.

Familia Pisauridae Simon, 1890

***Pisaura mirabilis* (Clerck, 1757)**. 1j, 19/09/2020, 30S YH 12888166, 1294 msnm. 1j, 04/01/2021, 30S YH 13748182, 1304 msnm.

Familia Salticidae Blackwall, 1841

***Aelurillus luctuosus* (Lucas, 1846)**. 2♂♂, 10jj, 07/03/2020, 30S YH 13758154, 1223 msnm. 1j, 07/03/2020, 30S YH 12158157, 1219 msnm. 1♂, 1j, 07/03/2020, 30S YH 13748182, 1304 msnm. 1♂, 4jj, 18/07/2020, 30S YH 12158157, 1219 msnm. 4♂♂, 2jj, 18/07/2020, 30S YH 12888166, 1294 msnm. 4jj, 18/07/2020, 30S YH 13748182, 1304 msnm. 6♂♂, 2♀♀, 6jj, 18/07/2020, 30S YH 13758154, 1223 msnm (2♂♂, 1♀ Col. J. A. Barrientos). 1♂, 2♀♀, 4jj, 01/08/2020, 30S YH 12158157, 1219 msnm. 3♂♂, 11jj, 01/08/2020, 30S YH 13758154, 1223 msnm. 2♂♂, 1♀, 4jj, 01/08/2020, 30S YH 13748182, 1304 msnm. 4♂♂, 2jj, 1/08/2020, 30S YH 12888166, 1294 msnm. 7jj, 23/08/2020, 30S YH 12888166, 1294 msnm. 1♀, 2jj, 23/08/2020, 30S YH 13748182, 1304 msnm. 1♂, 5jj, 23/08/2020, 30S YH 13758154, 1223 msnm. 1j, 05/09/2020, 30S YH 13748182, 1304 msnm. 1♂, 1j, 05/09/2020, 30S YH 12158157, 1219 msnm. 2jj, 05/09/2020, 30S YH 13758154, 1223 msnm. 1j, 05/09/2020, 30S YH 12888166, 1294 msnm. 1♀, 4jj, 19/09/2020, 30S YH 13748182, 1304 msnm. 7jj, 19/09/ 2020, 30S YH 13758154, 1223 msnm. 3jj, 03/10/2020, 30S YH 12158157, 1219 msnm. 1♂, 03/10/2020, 30S YH 13758154, 1223 msnm.
***Ballus chalybeius* (Walckenaer, 1802)**. 1♂, 03/10/2020, 30S YH 13748182, 1304 msnm.
***Euophrys frontalis* (Walckenaer, 1802)**. 1♂, 01/11/2020, 30S YH 13748182, 1304 msnm.
***Evarcha jucunda* (Lucas, 1846)**. 1♀, 18/07/2020, 30S YH 13758154, 1223 msnm.
***Heliophanus flavipes* (Hahn, 1832)**. 1♀, 18/07/2020, 30S YH 12888166, 1294 msnm. 1j, 19/12/2020, 30S YH 12158157, 1219 msnm.
***Iberattus semiglabratus* (Simon, 1868)**. 1j, 01/08/2020, 30S YH 13748182, 1304 msnm.
***Icius hamatus* (C. L. Koch, 1846)**. 2jj, 18/07/2020, 30S YH 12158157, 1219 msnm. 1♂, 01/08/2020, 30S YH 12888166, 1294 msnm.
***Phlegra sierrana* (Simon, 1868)**. 2♂♂, 01/08/2020, 30S YH 12158157, 1219 msnm. 1♂, 1j, 01/08/2020, 30S YH 12888166, 1294 msnm. 1♂, 2jj, 01/08/2020, 30S YH 13748182, 1304 msnm. 1♂, 01/08/2020, 30S YH 13758154, 1223 msnm. 1♂, 23/08/2020, 30S YH 13748182, 1304 msnm. 2♂♂, 1j, 23/08/2020, 30S YH 12158157, 1219 msnm. 1♂, 19/09/2020, 30S YH 13748182, 1304 msnm (Col. J. A. Barrientos).
***Thyene imperialis* (Rossi, 1846)**. 1♂, 18/07/2020, 30S YH 12888166, 1294 msnm.

Familia Sparassidae Bertkau, 1872

***Eusparassus levantinus* Urones, 2006**. 1j, 07/03/2020, 30S YH 12158157, 1219 msnm.

Familia Theridiidae Sundevall, 1833

***Enoplognatha franzi* Wunderlich, 1995**. 1♂, 07/03/2020, 30S YH 13748182, 1304 msnm.
***Episinus maculipes* Cavanna, 1876**. 1♀, 20/02/2021, 30S YH 13758154, 1223 msnm.
***Latrodectus tredecimguttatus* (Rossi, 1790)**. 1♂, 18/07/2020, 30S YH 13748182, 1304 msnm (Col. J. A. Barrientos).
***Theridion* sp. (jj. indet.)**. 1j, 01/08/2020, 30S YH 13748182, 1304 msnm. 1j, 05/12/2020, 30S YH 12158157, 1219 msnm.
(jj. indet.). 1j, 18/07/2020, 30S YH 12158157, 1219 msnm. 2jj, 23/08/2020, 30S YH 13748182, 1304 msnm.

Familia Thomisidae Sundevall, 1833

(jj. indet.). 1j, 18/07/2020, 30S YH 12888166, 1294 msnm. 1j, 01/08/2020, 30S YH 12888166, 1294 msnm. 1j, 23/08/2020, 30S YH 12158157, 1219 msnm. jj, 23/08/2020, 30S YH 13748182, 1304 msnm. 1j, 23/08/2020, 30S YH 12888166, 1294 msnm. 1j, 05/09/2020, 30S YH 13748182, 1304 msnm. 1j, 05/09/2020, 30S YH 12158157, 1219 msnm. 1j, 05/09/2020, 30S YH 12888166, 1294 msnm. 1j, 19/09/2020, 30S YH 12888166, 1294 msnm. 1j, 05/12/2020, 30S YH 13758154, 1223 msnm.

Familia Uloboridae Thorell, 1869

***Uloborus walckenaerius* Latreille, 1806**. 1♀, 18/07/2020, 30S YH 12888166, 1294 msnm.

Familia Zodariidae Thorell, 1881

***Amphiledorus balnearius* Jocqué & Bosmans, 2001**. 1j, 07/03/2020, 30S YH 12158157, 1219 msnm. 1♂, 1♀, 1j, 18/07/2020, 30S YH 12158157, 1219 msnm. 3♂♂, 18/07/2020, 30S YH 12888166, 1294 msnm. 1♀, 01/08/2020, 30S YH 12158157, 1219 msnm. 1j, 01/08/2020, 30S YH 13758154, 1223 msnm. 1j, 23/08/2020, 30S YH 13748182, 1304 msnm. 2jj, 05/09/2020, 30S YH 13748182, 1304 msnm. 1♀, 05/09/2020, 30S YH 12888166, 1294 msnm. 1j, 06/02/2021, 30S YH 13748182, 1304 msnm.

***Zodarion costablancae* Bosmans, 1994**. 2jj, 07/03/2020, 30S YH 12888166, 1294 msnm. 1j, 07/03/2020, 30S YH 13758154, 1223 msnm. 1♀, 07/03/2020, 30S YH 12158157, 1219 msnm. 1j, 07/03/2020, 30S YH 13748182, 1304 msnm. 1♂, 18/07/2020, 30S YH 12158157, 1219 msnm. 1♂, 3♀♀, 1j 18/07/2020, 30S YH 13758154, 1223 msnm. 1♂, 1♀, 2jj, 18/07/2020, 30S YH 12888166, 1294 msnm. 8♀♀, 2jj, 01/08/2020, 30S YH 13758154, 1223 msnm. 1♂, 2♀♀, 01/08/2020, 30S YH 13748182, 1304 msnm. 1♀, 1j, 01/08/2020, 30S YH 12888166, 1294 msnm. 1♂, 6♀♀, 5jj, 23/08/2020, 30S YH 13758154, 1223 msnm. 2jj, 23/08/2020, 30S YH 13748182, 1304 msnm. 4♂♂, 1♀, 3jj, 05/09/2020, 30S YH 13758154, 1223 msnm. 1j, 05/09/2020, 30S YH 12158157, 1219 msnm. 2jj, 05/09/2020, 30S YH 12888166, 1294 msnm. 1♀, 19/09/2020, 30S YH 13748182, 1304 msnm. 1♂, 19/09/2020, 30S YH 13758154, 1223 msnm. 2jj, 03/10/2020, 30S YH 13758154, 1223 msnm. 1j, 03/10/2020, 30S YH 12158157, 1219 msnm. 1♀, 03/10/2020, 30S YH 13748182, 1304 msnm.

Familia indet.

(jj. indet.). 1j, 07/03/2020, 30S YH 13748182, 1304 msnm. 1j, 23/08/2020, 30S YH 12158157, 1219 msnm. 1j, 05/09/2020, 30S YH 12158157, 1219 msnm.

Anexo C. Datos climáticos y faunísticos del Parque Natural del Carrascal de la Font Roja durante los meses de muestreo en 2020-2021. **Spp**: número de especies. **MM**: machos. **HH**: hembras. **TOTAL**: número total de individuos. Datos climáticos de la Estación Meterológica Alcoy Menejador (ACIF), 1.352 m , 38° 39' 33.48" N, 00° 32' 16.44" W. **Annex C**. Climatic and faunal data of the Carrascal de la Font Roja Natural Park during the sampling months in 2020-2021. **Spp**: number of species. **MM**: males. **HH**: females. **TOTAL**: total number of individuals. Climatic data from the Alcoy Menejador Meteorological Station (ACIF), 1,352 m, 38° 39' 33.48" N, 00° 32' 16.44" W.

2020-2021	Tª media	% HR media	Precipitación mm	Spp	MM	HH	TOTAL
III	6,4	82,2	119,6	18	20	7	59
VI	17,2	60,4	17,4	4	3	0	7
VII	21,6	57,5	4,2	20	56	21	113
VIII	21	55,2	18,4	24	66	36	211
IX	16,2	62	8,8	25	33	24	113
X	11,8	64,2	7,4	25	45	13	79
XI	9,6	79	46,6	27	48	14	71
XII	4,6	78	7,6	17	29	6	48
I	3,6	76,1	23,0	11	20	10	37
II	7,1	71,8	8,0	15	16	16	44